

АКАДЕМИЯ НАУК УССР  
АКЦИОННО-ТЕХНИЧЕСКИЙ ИНСТИТУТ

Прочитано  
Донецк-94-7(82)

Р. Я. Барбасов, А. И. Бобченко, А. Р. Ивс

УРАВНЕНИЕ ЛИНЕЙНО-ЛИНЕЙНОГО  
ТЕОРИИ ТОЧКИ РЕЗОНАНСА  
(Часть II)

ДОБРИК

Бикбаев Р.Ф., Бобенко А.И., Итс А.Р.

Уравнение Ландау-Лифшица. Теория точных решений. II.

Методом обратной задачи исследуется хорошо известное в теории ферромагнетизма уравнение Ландау-Лифшица. Построены все элементарные возбуждения солитонного типа. Изучено их взаимодействие. Получены также конечные (в эта-функциях) решения, среди них выделены вещественные.

Работа выполнена в Ленинградском государственном университете и Ленинградском отделении Математического института им. В.А.Стеклова АН СССР.

Препринт Донецкого физико-технического института АН УССР, Донецк, 1984.

Bikbaev R.F., Bobenko A.I., Its A.R.

The Landau-Lifshits equation. Theory of explicit solutions. II.

On the basis of the inverse scattering method the Landau-Lifshits equation in the theory of ferromagnets is investigated. All soliton excitations are constructed and their intermeditation is described in detail. The final formulas for the finite-gap solutions (the theta-function solutions) are obtained and real ones are isolated.

This work has been carried out in Leningrad State University and Leningrad Department Steklov Mathematical Institute.

Preprint of Donetsk Physico-Technical Institute of the Ukrainian Academy of Sciences, Donetsk, 1984.

© Донецкий физико-технический институт АН УССР, 1984

## ЧАСТЬ I

|  |    |
|--|----|
| Введение . . . . .   | 3  |
| § 1. Основная теорема . . . . .                                      | 8  |
| § 2. Второе поле . . . . .   | 14 |
| § 3. Процедура одевания. Общая схема . . . . .                       | 15 |
| § 4. Процедура одевания. Солитонные решения . . . . .                | 25 |
| § 5. Процедура одевания. Взаимодействие солитонных решений . . . . . | 36 |

## ЧАСТЬ II

|  |    |
|--|----|
| § 6. Конечные решения . . . . .                                      | 3  |
| § 7. Введение вещественных конечных решений . . . . .                | 11 |
| § 8. Простые конечные решения в аналитически<br>данных . . . . .     | 16 |
| § 9. $N$ -солитонные решения в случае "двух плоскостей" . . . . .    | 27 |
| § 10. Взаимодействие $S_1$ -солитонов с комплексной волной . . . . . | 32 |
| § 11. XYZ-уравнение Ландау - Лифшица . . . . .                       | 37 |
| Приложение . . . . .   | 44 |
| Литература . . . . .   | 47 |

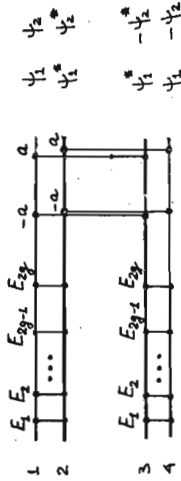


Рис. 5. Поверхность  $\Gamma$ .

Бейкера - Алгебра, являясь (аналогично данному случаю) ее двумерным аналогом, т.е. гипералгебраической поверхностью.

$\vec{\psi}(\lambda)$  строится по векторной функции Бейкера - Алгебра

$$\vec{\psi}(\lambda) = (\psi_1(\lambda), \psi_2(\lambda)) \text{ по формуле} \quad (6.4)$$

$$\vec{\psi}(\lambda) = \begin{pmatrix} \psi_1^*(\lambda) & \psi_2^*(\lambda) \\ \psi_1(\lambda) & \psi_2(\lambda) \end{pmatrix},$$

где  $\psi_1(\lambda)$  и  $\psi_2(\lambda)$  - собственные функции на  $\Gamma$ .  $\psi^*(\lambda) = \psi(\lambda^*)$ , где  $\lambda \rightarrow \lambda^*$  - инволюция  $\Gamma$ , порождаемая листом  $I \leftrightarrow 2$  и  $3 \leftrightarrow 4$ . В том случае, когда  $\vec{\psi}(\lambda)$  является векторной функцией Бейкера - Алгебра, справедлив вопрос об универсальности резонанса (6.2). Прежде всего определим инволюцию  $\lambda \rightarrow \lambda^*$  поверхности  $\Gamma$  соответствующими шарнирами  $\psi_1$  и  $\psi_2$  резонанса (6.2) запишемся следующие образцы:

$$\psi_1(\lambda^*) = \psi_1(\lambda^*), \quad \psi_2(\lambda^*) = -\psi_2(\lambda^*). \quad (6.5)$$

Для построения функции  $\psi_1(\lambda)$  и  $\psi_2(\lambda)$  рассмотрим соответствующую гипералгебраическую поверхность  $\Gamma$ . Если  $\vec{\psi}$  - характеристическая функция на рис. 6, и две функции на ней:

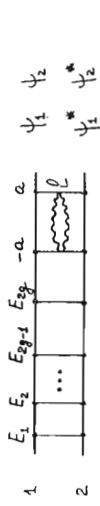


Рис. 6. Поверхность  $\Gamma_0$ .

опознающую  $\psi_1(\lambda)$ ,  $\lambda \in \Gamma_0$  и функцию  $\psi_2(\lambda)$ , меняющую знак при пересечении замкнутой контура  $\ell$ , проходящего через точки  $a$  и  $-a$  (набравшая на рис. 6 волнистой линией):

$$\psi_2^+(\lambda) = -\psi_2^-(\lambda) |_{\lambda \in \ell}, \quad (6.6)$$

где  $\psi_2^+$  и  $\psi_2^-$  - соответственно на верхней и нижней границах контура. Построенные таким образом функции  $\psi_1$  и  $\psi_2$  легко определяются на поверхности  $\Gamma$  ( $\Gamma$  - соответствующая область аналитического продолжения  $\psi_2(\lambda)$ ). Обозначим значения  $\psi_1(\lambda)$  и  $\psi_2(\lambda)$  на первом листе  $\Gamma_0$  через  $\psi_1$  и  $\psi_2$ , а на втором - через  $\psi_1^*$  и  $\psi_2^*$ . Определим  $\psi_1^*(\lambda)$  и  $\psi_2^*(\lambda)$  на первом листе  $\Gamma$  (см. рис. 5) значениями  $\psi_1(\lambda)$  и  $\psi_2(\lambda)$  на первом листе  $\Gamma_0$  (см. рис. 6). Листы  $I$  и  $2$  поверхности  $\Gamma$  смежны по разрезу на  $[E_{2i-1}, E_{2i}]$ , поэтому, продолжив аналитически  $\psi_1(\lambda)$  и  $\psi_2(\lambda)$  через эти разрезы, получим их значения на втором листе  $\Gamma$  равными  $\psi_1^*$  и  $\psi_2^*$ . Значения на 3-м листе  $\Gamma$  получаются при продолжении с 1-го листа через разрез  $[a, -a] = \ell$ , на котором  $\psi_2(\lambda)$  как функция на  $\Gamma_0$  меняет знак (6.6), поэтому значения на 3-м листе  $\Gamma$  равны соответственно  $\psi_1^*$  и  $-\psi_2^*$ . Аналогично на 4-м листе  $\Gamma$  равны  $\psi_1$  и  $-\psi_2$ .

Отсюда, что построенные таким образом на  $\Gamma$  функции  $\psi_1(\lambda)$  и  $\psi_2(\lambda)$  удовлетворяют резонансу (6.5), и, следовательно,  $\vec{\psi}(\lambda)$ , определенная по ним матрица (6.4), - гипералгебраическая (6.2).

Теорема 5. Пусть функции  $\psi_1(\lambda)$  и  $\psi_2(\lambda)$  как функции на  $\Gamma_0$  обладают следующими свойствами:

$$\begin{aligned} 1) \quad \psi_1(\lambda, z, t) &= (A + A_1 \lambda^{-1} z^{-1}) \exp\{-i\alpha\lambda + 2it\lambda^2\}, \lambda \rightarrow \infty, \\ \psi_1(\lambda, z, t) &= (B + B_1 \lambda^{-1} z^{-1}) \exp\{i\alpha\lambda - 2it\lambda^2\}, \lambda \rightarrow \infty, \\ \psi_2(\lambda, z, t) &= (C + C_1 \lambda^{-1} z^{-1}) \exp\{-i\alpha\lambda + 2it\lambda^2\}, \lambda \rightarrow \infty, \\ \psi_2(\lambda, z, t) &= (D + D_1 \lambda^{-1} z^{-1}) \exp\{i\alpha\lambda - 2it\lambda^2\}, \lambda \rightarrow \infty, \end{aligned} \quad (6.7)$$

где  $A, B, C, D$  - некаждые функции  $z$  и  $t$ ;  $\infty^+$  и  $\infty^-$  - две бесконечно удаленные точки  $\Gamma_0$  соответственно на верхнем и нижнем листах;

2)  $\psi_1(\lambda)$  и  $\psi_2(\lambda)$  мероморфны на  $\Gamma \setminus \{\infty^\pm\}$  и имеют конечный дивизор полюсов  $\mathcal{D} = \mu_1 + \mu_2 + \dots + \mu_g$ .

3)  $\psi_1(\lambda)$  однозначна на  $\Gamma_0$ ,  $\psi_2(\lambda)$  удовлетворяет соотношению (6.5);

4)  $\psi_1(-\alpha)$  и  $\psi_2(-\alpha)$  не зависят от  $z, t$ .

Тогда функции  $\psi_1(\lambda)$ , определенные на  $\Gamma$  по формулам  $\psi_1(\lambda)$  и  $\psi_2(\lambda)$  формул (6.4) и проецируя, описанной выше, удовлетворяют от обобщенной задаче Римана с дивизорами  $\Lambda = \Lambda_1 \oplus \Lambda_2$  (см. (6.1)) и решению (6.2), а ее первый коэффициент разложения (1.7) в окрестности бесконечно удаленной точки  $\infty_0$  задается формулой (1.14), где  $A, B, C, D$  определяются равенствами (6.7).

Доказательство этой теоремы несложно и мы его приводить не будем.

Итак, для построения конечномонокли решая уравнения (1.1) осталось конструктивно построить функции  $\psi_1(\lambda)$  и  $\psi_2(\lambda)$ ,  $\lambda \in \Gamma_0$  удовлетворяющие условиям теоремы 5.

Определим на  $\Gamma_0$  количество обмотки конечномонокли интегрируемой (подробно этот материал изложен в обзорной [16, 20, 35]). Наконец (особенно этот материал изложен в обзорной [16, 20, 35]) ). Назовем такой обмоткой  $\alpha_i, \beta_i, \gamma_i, i=1, \dots, g$  обмотку тора.

Чтобы найти  $\sum \alpha_i = \alpha_1 + \alpha_2 + \dots + \alpha_g$  обмотки вокруг разреза  $[-\alpha, \alpha]$ , т.е. сошлался с контуром  $\mathcal{L} = \oint dU_i(\lambda), i=1, \dots, g$  - соответствующий нормированный обмоткой абелевых дифференциалов (нормировка  $\oint dU_j = \delta_{ij}$ ),  $B$  - матрица переломов  $\Gamma_0$ .

$$\theta[\alpha, \beta](z|B) = \sum_{m \in \mathbb{Z}^g} \exp\{i\alpha \cdot B(m+\alpha) + 2iz \cdot (z + \beta \cdot m + \alpha)\} - \quad (6.8)$$

- theta-функция Римана с характеристиками  $\alpha, \beta \in \mathbb{R}^g$ ,  $\theta[0, 0](z|B) \equiv \theta(z|B)$ ,  $z \in \mathbb{C}^g$ . Определим также два нормированных (нулевые  $\alpha$  - периоды) абелевы интегралы второго рода  $\Omega_1(\lambda)$  и  $\Omega_2(\lambda)$  и асимптотика на  $\infty^\pm$ :

$$\Omega_1(\lambda) \rightarrow \mp(\lambda + \beta_1 + \dots), \Omega_2(\lambda) \rightarrow \pm(2\lambda^2 + c_1 + \dots), \lambda \rightarrow \infty^\pm, \quad (6.9)$$

$V, W \in \mathbb{C}^g$  - векторы из  $\mathbb{C}^g$  - периодов.

Функции  $\psi_1(\lambda)$  и  $\psi_2(\lambda)$  заданы традиционными формулами

$$\psi_1 = \frac{\theta(V(\lambda) + \Omega_1 + 2\pi i)}{\theta(V(\lambda) + \Omega_1 + 2\pi i)} \exp\{i[\Omega_1(\lambda) - \Omega_2(\lambda)]z + (\Omega_2(\lambda) - \Omega_1(\lambda))t\} \quad (6.10),$$

$$\psi_2 = \frac{\theta(W(\lambda) + \Omega_1 + 2\pi i)}{\theta(W(\lambda) + \Omega_1 + 2\pi i)} \exp\{i[\Omega_1(\lambda) - \Omega_2(\lambda)]z + (\Omega_2(\lambda) - \Omega_1(\lambda))t\},$$

где  $n = \frac{1}{2}(1, 1, \dots, 1)$ ,  $V(\lambda) = (\int_{\mathcal{L}} dU_1, \dots, \int_{\mathcal{L}} dU_g)$ ,  $\Omega_2 = \frac{1}{2\pi} (Vz + Wt)$ ,  $\mathcal{D} \in \mathbb{C}^g$  - произвольный вектор общего положения, являющийся с точностью до вектора равных констант отображением образа от дивизора  $\mathcal{D}$ . Нетрудно видеть, что функции  $\psi_1(\lambda)$  и  $\psi_2(\lambda)$  однозначны: при обходе по циклам  $\beta_1, \beta_2, \dots, \beta_g$ , т.е. при пересече-

ни контура  $\ell$  она меняет знак, знак и продвигается условием теореме 5. Функцию  $\psi_2(\lambda)$  можно привести к более удобному виду, если учесть, что  $\beta$  - характеристическая огибающая лишь к одному аргументу тета-функции и, что  $U(\alpha) - U(-\alpha) = n$ , так как  $dU(\lambda^0) = -dU(\lambda)$  и  $\int_{\Sigma_0} dU = 2n$ :

$$\psi_2 = \frac{\theta(U(\infty) + \Omega_1 + 2\alpha + n)}{\theta(U(\alpha) + 2)\theta(U(\alpha) + 2\alpha)} \exp\{i[\zeta(\Omega_1(\lambda) - \Omega_1(-\alpha))z + (\Omega_2(\lambda) - \Omega_2(-\alpha))t]\} / (6.11)$$

Далее, если выбрать начальную точку интегрирования точкой ветвления  $\Gamma_0$ , то

$$\Omega_2(-\alpha) = \Omega_2(-\alpha), \quad (6.12)$$

так как  $\oint_{\Sigma_0} d\Omega_2 = 0$ ,  $d\Omega_2(\lambda^0) = -d\Omega_2(\lambda)$ .

Таким образом, функция  $\psi_2(\lambda)$  построена. Выбравши  $A, B, C, D$  (6.7) задается выражением

$$\begin{aligned} A &= \theta(U(\infty) + \Omega_1 + 2\alpha) \exp\{i[(-\epsilon - \Omega_2(-\alpha))z + (c - \Omega_2(\alpha))t]\} / f(\infty^+), \\ B &= \theta(U(\infty) + z + 2\alpha) \exp\{i[(\epsilon - \Omega_2(\alpha))z + (c - \Omega_2(\alpha))t]\} / f(\infty^-), \\ C &= \theta(U(\infty) + \Omega_1 + 2\alpha + n) \exp\{i[(\epsilon - \Omega_2(-\alpha))z + (c - \Omega_2(-\alpha))t]\} / f(\infty^+), \\ D &= -\theta(U(\infty) + \Omega_1 + 2\alpha + n + 2) \exp\{i[(\epsilon - \Omega_2(-\alpha))z + (c - \Omega_2(-\alpha))t]\} / f(\infty^-), \\ f(z) &= \theta(U(z) + \alpha) \theta(V(\alpha) + \Omega_1 + 2\alpha), \end{aligned}$$

где  $z = \int_{\Gamma_0}^{\infty} dU$  по пути на поверхности  $\Gamma_0$ , пересекаем контур  $\ell$ ;  $\beta$ ,  $c$  определяются из (6.9). Полагая малые значения  $\alpha$  и  $n$  в выражении для  $D$ . Дано в том, что если значение функции  $\psi_2$  на первом листе  $\Gamma$  равно  $\beta$ , то  $D = 0$  это ее значение на втором листе  $\Gamma$  (см. (6.4)), добавляя же в аргумент тета-функции контура  $\Gamma$  по пути, пересекаем контур  $\ell$ , дает значение  $\psi_2(\lambda)$  в бесконечности удаленной точке 3-го листа  $\Gamma$  (так как тот путь огибает листы I и 3, а не I и 2). Функция  $\psi_2(\lambda)$  на листах 2 и 3 огибается

знаком.

Заметим, что выражения для силосов (I.15) инвариантны относительно преобразования  $A \rightarrow \alpha A$ ,  $B \rightarrow \beta B$ ,  $C \rightarrow \alpha C$ ,  $D \rightarrow \beta D$  (или, что то же,  $\psi_2$  - функция можно домножить справа на произвольную диагональную матрицу). Произвели соответствующие сокращения и учли теорему 6.12, получим следующую теорему.

Теорема 6. Общие канонические решения  $XXZ$  уравнения I-I (I.1) определяются формулами (I.15), где

$$\begin{aligned} A &= \theta(\Omega_1 + \alpha), B = \theta(\Omega_1 + 2\alpha + z), C = \theta(\Omega_1 + 2\alpha + n), \\ D &= -\theta(\Omega_1 + 2\alpha + n + 1), n = \frac{1}{2}(4 + \dots), \end{aligned} \quad (6.13)$$

Здесь тета-функция определяется римановой поверхностью  $\Gamma$ .

$\omega = \frac{z}{2}(\lambda - \alpha)^2(\lambda - \epsilon)z$ , или  $\sum_{i=1}^3 \alpha_i = \alpha_1 + \alpha_2 + \dots + \alpha_g$  которой охватывает разрез  $[-\alpha, \alpha]$ ;  $z = \int_{\infty^+}^{\infty^-} dU$ , где путь интегрирования пересекает шнел  $\sum \alpha_i$ ,  $z \in \mathbb{C}^*$ ,  $\Omega_1 = \frac{1}{2\pi}(Vz + Wt)$ .

Замечание 6. Легко показать, что если канонический базис выбран так, что контур  $\ell$  равен  $\ell = \sum_{i=1}^g (\beta_i \alpha_i + \alpha_i \beta_i)$ ;  $\alpha_i, \beta_i \in \mathbb{Z}$ , то

$$\begin{aligned} A &= \theta(\Omega_1 + 2\alpha), B = \theta(\Omega_1 + 2\alpha + z), z = \int_{\infty^+}^{\infty^-} dU, \\ C &= \theta[\frac{z}{2}, \frac{z}{2}](\Omega_1 + 2\alpha), D = -\theta[\frac{z}{2}, \frac{z}{2}](\Omega_1 + 2\alpha + z), \end{aligned} \quad (6.14)$$

где путь интегрирования пересекает контур  $\ell$ .

Замечание 7. Мы видим, что формулы для решений зависят от выбора базиса шнелов. Таким образом, может показаться, что решение определяется не только данными задачи Римана  $\Lambda$  (6.1), т.е. точками ветвления и линейным полнорого  $\psi$ , но и зависит от выбора канонического базиса шнелов на  $\Gamma$ . Приведем простое рассуждение, показывающее, что это не так. Действительно, хотя формальные реализации  $\psi$ -функции и зависят от выбора базиса шнелов, но очевидно, что  $\psi$ -функция единственным образом строится по  $\Lambda$  (и каноничностью от произ-

§ 7. ВЫЧИСЛЕНИЕ НЕИЗВЕСТНЫХ КОНЕЧНОСНЫХ РЕШЕНИЙ

Вспомогательные функции в § 6 обрели конечные значения. Мы не будем приводить достаточно громоздкие отсюда доказательства того, что выделены все непереносимые решения, которые основаны на требованиях выполнения равенств (1.17). Вместо этого приведем технику, предложенную первоначально в работе [17] для уравнений Ом-Гордона и основанную на анализе только окончательных формул для решений в тета-функциях Римана.

Отметим сначала простую алгебраическую теорему, которая легко доказывается путем вычисления.

Лемма 3. Формулы (1.15) определяют конечное решение уравнения (1.1) тогда и только тогда, когда выполняется соотношение

$$D\bar{C} = -B\bar{A}. \quad (7.1)$$

$\bar{C}$  - функция, отвечающая известным решениям уравнения (1.1), обладает равенствами (1.17), следовательно, кривая  $\Gamma_0$  обладает максимальной связностью. Из замечания 2 § 1, теоремы 6 и леммы 3 следует второе утверждение на параметрах решения, в этом случае уже и на вектор  $\mathcal{D}$  : равенства

$$|\mathcal{D}|^2 = \frac{\theta(\Omega + \mathcal{D} + n \cdot \tau) \theta(\Omega + \mathcal{D} + n \cdot \tau)}{\theta(\Omega + \mathcal{D} + \tau) \theta(\Omega + \mathcal{D})} = \cos^2 t > 0 \quad (7.2)$$

должна быть положительной константой, не зависящей от  $\tau$  и  $t$ . Проведем подробный анализ двух этих ограничений сначала в случае анизотропии тета-функции (E < 0). Рассмотрим кривую  $\Gamma_{\text{An}}$ . Преобразуем вместе с базисом шклов на рис. 7. Пусть кроме пары точек ветвления  $\Omega$  и  $-\Omega$  на ветвистой осях находится еще  $(\mu, -\mu)$  пар точек ветвления,  $\mu$  пар из которых лежат на отрезке  $[-\alpha, \alpha]$ , и  $\Gamma_{\text{An}}$  несет еще  $g - \mu - \nu$  пар сопряженных точек ветвления. Антиинвариантная

ного: пусть  $\bar{C}$  и  $\bar{D}$  отвечают  $\Lambda$ , тогда

$$\bar{C} \bar{D}^{-1} = \varphi(\alpha + \tau) \begin{pmatrix} \delta & 0 \\ 0 & \gamma^{-1} \end{pmatrix}, \quad \gamma = \cos^2 t$$

из тождества на  $\bar{C}$  и нормировки (1.12) и равенства (1.11).

Такие функции не различимы (см. замечание 2 § 1). Поэтому определенное ею по формулам (1.14), (1.15) решение уравнения I-I такая единственно.

Такая простое рассуждение показывает, что определенное гиперэллиптической поверхности  $\Gamma_0$  решение выкинет только от трех ветвей  $\Gamma_0$  и не зависит от способа проведения разрезов между ними.

В различных случаях нам будет удобно различным образом выбирать разрез и базис шклов  $\Gamma_0$  (см. §§ 7-10). При этом будут описываться один и те же решения уравнения I-I.

Замечание 8. Для момента вектора  $\mathcal{E}$  -периодов  $\Omega$  удобно воспользоваться следующим простым фактом (см., например, [16]). Пусть  $\bar{z}$  - локальные координаты в окрестности точки  $P_0 \in \Gamma_0(z=0, P \rightarrow P_0)$  и базисные голоморфные дифференциалы запишем в окрестности  $P_0$  в виде  $dU = \bar{f}(z) dz$ . Тогда нормированный абелев интеграл второго рода с единичной особенностью в точке  $P_0$  запишется  $\Omega(P) \rightarrow z^{-n} + O(1)$ ,  $z \rightarrow 0$  имеет вектор  $\mathcal{E}$  -периодов, равный

$$\Omega = -\frac{2\pi i}{(n-1)!} \frac{d^{n-1}}{dz^{n-1}} \bar{f}(z) \Big|_{z=0}. \quad (6.15)$$

Для гиперэллиптической поверхности  $\Gamma$ , заданной уравнением

$$\omega^2 = \prod_{i=1}^g (\lambda - E_i) \quad \text{о нормированном базисом } dU_i = \frac{1}{\omega} \cdot \int_{\gamma_i} C_{i,j} \lambda^j \omega^j, \quad i=1, \dots, g, \quad \text{получим, что абелевы интегралы второго рода}$$

$\int_{\gamma_i} \Omega_k(P) \cdot \Omega_k(P)$  о особенностей (6.9) имеют векторы  $\mathcal{E}$  -периодов  $V$  и  $W$ , равные

$$V_k = -4\pi i C_{k,1}, \quad W_k = 8\pi i \left( C_{k,2} + \sum_{i=1}^{g-2} E_i \right), \quad k=1, \dots, g. \quad (6.16)$$

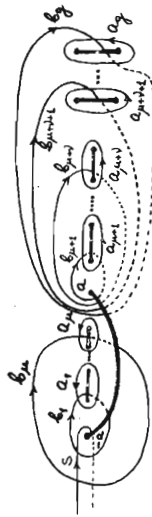


Рис. 7. Базис циклов и контур  $S$  на римановой поверхности  $\Gamma_{\text{ЛП}}$ . Вспомогательные линии изобразимы части циклов, лежащие на нижнем листе римановой поверхности.

сопряжения:  $\tau(\lambda, \omega) = (\bar{\lambda}, \bar{\omega})$ , но меньшая листов  $\Gamma_{\text{ЛП}}$ , действует на эти циклы так:

$$\alpha_i = \tau \alpha_i, \quad i=1, \dots, \mu; \quad \alpha_i = -\tau \alpha_i, \quad i=\mu+1, \dots, g;$$

$$\beta_i = -\tau \beta_i, \quad i=1, \dots, \mu; \quad \beta_i = \tau \beta_i, \quad i=\mu+1, \dots, \mu+\nu, \quad i=\mu+\nu+1, \dots, g. \quad (7.3)$$

(известно в группе гомологий  $H_1(\Gamma, \mathbb{Z})$ ). Следовательно, нормированные гомоморфизмы дифференциалов при действии  $\tau$  преобразуются по закону

$$\tau^* dU_i(\lambda) = dU_i(\tau(\lambda)) = dU_i(\bar{\lambda}), \quad i=1, \dots, \mu, \quad (7.4)$$

$$\tau^* dU_i(\lambda) = dU_i(\tau(\lambda)) = dU_i(\bar{\lambda}), \quad i=\mu+1, \dots, g,$$

поэтому матрица переломов имеет следующую структуру:

$$Re b_{ij} = 0, \quad i, j=1, \dots, \mu; \quad b_{ij} \in \mathbb{R}, \quad i=1, \dots, \mu, \quad j=\mu+1, \dots, g;$$

$$Re b_{ij} = 0, \quad i=\mu+1, \dots, \mu+\nu; \quad j=\mu+1, \dots, g;$$

$$Re b_{ij} = 0, \quad i, j=\mu+\nu+1, \dots, g, \quad i \neq j; \quad Re b_{ii} = -1/2.$$

Будем обозначать  $\beta$  - первый вектор  $\bar{z} = (\frac{z'}{z''})'$ ,  $z' \in \mathbb{C}^n$ ,  $z'' \in \mathbb{C}^{g-n}$ , где  $z'$  - первые  $\mu$  координат вектора  $\bar{z}$ , а  $z''$  - последние  $g-\mu$  координат. Тета-функции, определяемые такой  $B$ -матрицей, обладают свойствами

$$\overline{\theta\left(\frac{z'}{z''}\right)} = \theta\left(-\frac{\bar{z}'}{\bar{z}''}\right), \quad \lambda = \frac{1}{2}(0, \dots, 0, 1, \dots, 1), \quad \lambda \in \mathbb{R}^{g-n} \quad (7.5)$$

(куда на первом  $\nu$  местах). Нетрудно также убедиться, что компоненты вектора  $\Omega = (\Omega^i)$ ,  $Re \Omega^i = 0$ ,  $\Omega^i \in \mathbb{R}$ , а интеграл  $Z$ , вычисленный по пути  $S$  ( $\tau S = S$ ), указанному на рис. 7,

$$Z = \begin{pmatrix} z' \\ z'' \end{pmatrix} = \int_S dU(\lambda) = \int_{\tau S} dU(\bar{\lambda}) = \begin{pmatrix} \bar{z}' \\ -\bar{z}'' \end{pmatrix}, \quad z' \in \mathbb{R}, \quad Re z'' = 0. \quad (7.6)$$

Получим (7.5), порешим условие (7.2) в виде

$$|\chi|^2 = \frac{\theta\left(\frac{\Omega^i + \Omega^i n^i + z'}{\Omega^i + \Omega^i n^i + z''}\right) \theta\left(\frac{\Omega^i - \bar{\Omega}^i + n^i}{\Omega^i + \bar{\Omega}^i + n^i + \lambda}\right)}{\theta\left(\frac{\Omega^i + \bar{\Omega}^i + z'}{\Omega^i + \bar{\Omega}^i + z''}\right) \theta\left(\frac{\Omega^i - \bar{\Omega}^i}{\Omega^i + \bar{\Omega}^i + \lambda}\right)} = \text{const} > 0, \quad (7.7)$$

$$Z = \begin{pmatrix} z' \\ z'' \end{pmatrix}, \quad n = \begin{pmatrix} n^i \\ n^i \end{pmatrix}.$$

Оно может быть выполнено, только если

$$\begin{pmatrix} \bar{\Omega}^i + n^i + z' \\ \bar{\Omega}^i + n^i + z'' \end{pmatrix} = \begin{pmatrix} -\bar{\Omega}^i \\ \bar{\Omega}^i + \lambda \end{pmatrix} + M + BN, \quad M, N \in \mathbb{Z}^g, \quad (7.8)$$

откуда следует  $N=0$ ,  $\nu=0$ ,  $\lambda = n^i$ .

$$Z = D_0' - \frac{1}{2}(z' + n^i + \delta), \quad \delta \in \mathbb{Z}^g / 2\mathbb{Z}^g, \quad Re D_0' = 0, \quad (7.9)$$

$$D_0'' = D_0' - \frac{1}{2}z'', \quad D_0'' \in \mathbb{R},$$

где векторы  $D_0'$  и  $D_0''$  - произвольны. В этом случае  $|\gamma|^{1/4} = 1$ . Таким образом, поверхность  $\Gamma_{\text{ЛП}}$  описывается уравнением

$$\omega^2 = (\lambda^2 - \alpha^2) \prod_{j=1}^{\mu} (\lambda - \epsilon_j) \prod_{i=1}^{\nu} (\epsilon_i + \lambda)(\lambda - \bar{\epsilon}_i), \quad \prod_{i=1}^{\nu} \epsilon_i \neq 0, \quad (7.10)$$

$$e_j \in \mathbb{R}, \quad |e_j| < \alpha.$$

При этом имеются  $2^{\mu}$  топологически различных компонент решений (контуре не переходят друг в друга при движении по динамическому переключению). Они отличаются  $2^{\mu}$  различными возможностями выбора вектора  $\vec{S}$  (7.9), состоящего из 0 и 1.

Замечание 3. Используя теорему сложения для тета-функций (см., например, [16])

$$\theta(z_1|b)\theta(z_2|b) = \sum_{2a \in \mathbb{Z}^2 / 2Z^2} \theta(z_1 + z_2 + 2ab) \theta(z_1 - z_2 | 2b) \quad (7.11)$$

и формулы (1.15), (5.13), легко показать, что решения, определенные векторами  $\vec{S}_1 \in \mathbb{Z}^2 - S_2 = 2\mathbb{N}' - \vec{S}_1$ , отличаются только преобразованием  $(S_1, S_2, S_3) \rightarrow (S_1 - S_2, -S_2)$ , сводящимся к вращению осей координат. Мы не будем различать такие решения (хотя во внешнем поле (см. §2) они эквивалентны по-разному). Следовательно, в действительности число компонент криволиней и равно  $2^{\mu-1}$ .

Аналогично рассматривается и случай левой оси ( $\epsilon > 0$ ). Соответствующая решетчатая поверхность  $\Gamma_{\text{ЛО}}$  изображена на рис.8. У этой поверхности кроме точек  $-\alpha$  и  $\alpha$  есть еще  $\nu$  пар сопряженных точек и  $q - \nu$  пар вещественных точек ветвления. Справедлива

теорема

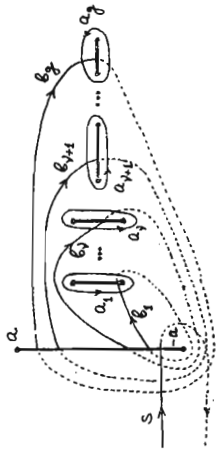


Рис.8

$$\begin{aligned} \alpha_i &= -\tau\alpha_i, & i &= 1, \dots, q; \\ \epsilon_i &= \tau\epsilon_i - \tau\alpha_i + \sum_{k=1}^{\nu} \tau\alpha_k, & i &= 1, \dots, \nu; \\ \epsilon_i &= \tau\epsilon_i + \sum_{k=1}^{\nu} \tau\alpha_k, & i &= \nu+1, \dots, q; \end{aligned}$$

$$B = -\bar{B} + J; \quad J_{ii} = 0, i \leq \nu; \quad J_{ij} = -1, i > \nu + 1; \quad J_{ij} = -1, i \neq j;$$

$$\overline{\theta(z)} = \theta(\bar{z} + \lambda), \quad \lambda = \frac{1}{2}(\alpha_0, \dots, \alpha_{\nu+1}),$$

$$z_0 = -\bar{z}_0 - 2\alpha, \quad \text{Re } z_0 = -\alpha, \quad \sum_{i=1}^{\nu} \alpha_i \in \mathbb{R}^{\nu}, \quad n = \frac{1}{2}(1, 1, \dots, 1),$$

где в формуле для  $\lambda$  крест стоит на  $\nu$  первых местах, а  $z_0$  означает мнимый  $z$  на рис.8. Так же, как и в случае левой плоскости, условия (7.2) с несхожимостью приводят к равенству

$$D + n + z = \bar{D} + \lambda + M + BN, \quad M, N \in \mathbb{Z}^{\nu}, \quad (7.12)$$

при этом

$$|f|^{1/4} = \exp\left\{2\pi i \langle N, n \rangle\right\}, \quad \langle N, n \rangle = \sum_{i=1}^{\nu} N_i n_i = \frac{1}{2} \sum_{i=1}^{\nu} N_i. \quad (7.13)$$

Возможны два случая:



1)  $\gamma = g, \lambda = 0, N = 0$ , следовательно,  $|\gamma|^4 = 1$ .  $\mathcal{D}$  определяется равенством

$$\mathcal{D} = \mathcal{D}_0 - \frac{1}{2} \tau, \mathcal{D}_0 \in \mathbb{R}; \quad (7.14)$$

2)  $\gamma < g$ . Возьмем вещественную часть от равенства (7.12)

$$0 = \lambda + M + Re BN = \lambda + M + \frac{1}{2} N \gamma \lambda \quad (7.15)$$

$$-M = \lambda - < N, \lambda > 2\lambda + \frac{1}{2} L N,$$

где  $L = \text{diag}(1, \dots, 1, 0, \dots, 0)$  (единицы на  $\nu$  первых местах). В равенстве (7.15) слева стоит целый вектор, а справа  $-(LN)_i = 0$ ,  $\lambda_i = \frac{1}{2}$ ,  $i \geq \nu + 1$ , следовательно,  $< N, \lambda >$  — полуцелое, поэтому из выражения (7.13) получим  $|\gamma|^4 = -1$ , а действительных решений нет.

Таким образом, поверхность  $\Gamma_{\lambda 0}$ , определенная вещественные решения, задается уравнением

$$\omega^2 = (\lambda^2 - \alpha^2) \prod_{i=1}^{\nu} (\lambda - c_i)(\lambda + \bar{c}_i), \quad \forall \mu, c_i \neq 0, \quad (7.16)$$

и доказать

**Теорема 7.** Для того чтобы конечное решение ХНЗ уравнения Л-1 (1.1), определенное в теореме 6, было вещественным, необходимо и достаточно, чтобы уравнение поверхности  $\Gamma_{\lambda 0}$  и  $\Gamma_{\lambda 0}$  задавались соответственно уравнениями (7.10) и (7.16), вектор  $\mathcal{D}$  — определенная соответственно условиями (7.9) и (7.14),  $\tau = \int_S dV$ , где путь интегрирования  $S$  при  $\varepsilon < 0$  и  $\varepsilon > 0$  изображены на рис. 7 и 8.

#### § 8. ПРОСТЕЙШИЕ КОНЕЧНОСЛОИНЫЕ РЕШЕНИЯ В ЭЛИПТИЧЕСКОЙ ФУНКЦИИ

Простейшие неизрожденными конечными решениями являются решения в случае  $g = 1$ . Рассмотрим кривые  $\Gamma_{\lambda 0}$  (рис. 9, а и б) и  $\Gamma_{\lambda 0}$  (рис. 10).

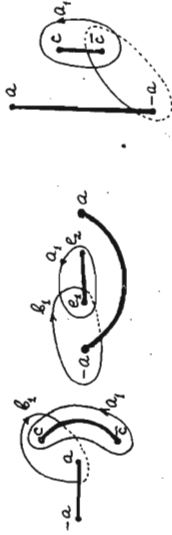


Рис. 9

а

б

Рис. 10

Как уже отмечалось в замечании 7 § 6, хотя формулыные представления для конечных решений уравнения Л-1 и зависят от выбора разрывов и базиса циклов  $\Gamma_0$ , сами решения определяются только точками нулевой функции  $\Gamma_0$ . В дальнейшем нам будет удобно пользоваться различными представлениями  $\Gamma_0$ . В этой связи отметим, например, что конформности  $\Gamma_{\lambda 0}$  с базисными циклами, изображенными на рис. 9а, б, эквивалентны поверхностям с базисными, изображенными соответственно на рис. 11а, б.

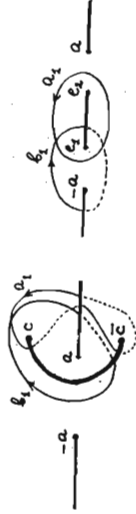


Рис. 11

а

б

Во всех случаях имеется единственный голоморфный дифференциал

$$dV(\lambda) = N \frac{d\lambda}{\sqrt{(\lambda^2 - \alpha^2)(\lambda - E_1)(\lambda - E_2)}}$$

$(E_1, E_2) = (c, \bar{c})$  или  $(e_1, e_2)$ . Постоянная  $N$  находится из условия нормировки  $\oint_{\alpha_1} dV = 1$ . Период кривой  $\Gamma_0$  равен  $\int_{\alpha_1} dV$ .

Периоды  $V$  и  $W$  интегралов второго рода определяются равенствами (6.16), откуда  $V = -4\pi i N, W = 4\pi i N(c + \bar{c})$ .

Интеграл  $Z = 2S_0$  вычисляется непосредственно. Таким образом, как обычно, решение  $\bar{S}(z, t) = \bar{Q}_X(z, -z + vt)$  рода  $g=1$  имеет вид конформальной

выпуклой - периодической обложки волн. Для поверхности, изображенных на рис.9 а и 10, получаем форму

$$A = \theta[0,0](2iN(-z+vt) + d - S_0 | B),$$

$$B = \theta[0,0](2iN(-z+vt) + d_0 + S_0 | B),$$

$$C = \theta[\alpha, \frac{1}{2}](2iN(-z+vt) + d - S_0 | B),$$

$$D = -\theta[0, \frac{1}{2}](2iN(-z+vt) + d + S_0 | B), \quad d \in \mathbb{R},$$

скорость которой равна

$$U = c + \bar{c},$$

а вещественный период по  $z$

$$X = \frac{i}{2N}.$$

По поверхности  $\Gamma_{\text{II}}$  (рис.9, д) строятся решения  $\bar{Q}_X^+(z, -z + vt)$  и  $\bar{Q}_X^-(z, -z + vt)$ , отвечающие различным набору  $\delta \in \mathbb{Z}/2\mathbb{Z}$  в формуле (7.9). Из замечания § 7 следует, что эти решения описываются триггерными преобразованиями  $(S_1, S_2, S_3) \rightarrow (S_1, -S_2, -S_3)$ .

$\bar{Q}_X^+(z, -z + vt)$  также задается выражениями (8.1), причем  $d = d_0 + \frac{1}{2}$ . где  $d_0$  - произвольное вещественное число. Это конформная волна со скоростью

$$U = e_1 + e_2. \quad (8.4)$$

и вещественным периодом

$$X = iB/N, \quad N \in \mathbb{R}. \quad (8.5)$$

Используя формулу (7.11), легко получить следующее представление для  $\bar{Q}$ :

$$\bar{Q}_1 = \frac{\theta[\frac{1}{2}, \frac{1}{2}](z|2B) \theta[0,0](2S_0|2B)}{\theta[\frac{1}{2}, \frac{1}{2}](z|2B) \theta[\frac{1}{2}, \frac{1}{2}](2S_0|2B)} = \frac{\theta_1(z) \theta_2(2S_0)}{\theta_1(z) \theta_2(2S_0)},$$

$$\bar{Q}_2 = i \frac{\theta[\frac{1}{2}, 0](z|2B) \theta[\frac{1}{2}, 0](2S_0|2B)}{\theta[\frac{1}{2}, \frac{1}{2}](z|2B) \theta[\frac{1}{2}, \frac{1}{2}](2S_0|2B)} = i \frac{\theta_2(z) \theta_2(2S_0)}{\theta_1(z) \theta_2(2S_0)},$$

$$\bar{Q}_3 = \frac{\theta[\frac{1}{2}, \frac{1}{2}](z|2B) \theta[\frac{1}{2}, \frac{1}{2}](2S_0|2B)}{\theta[\frac{1}{2}, \frac{1}{2}](z|2B) \theta[\frac{1}{2}, \frac{1}{2}](2S_0|2B)} = \frac{\theta_1(z) \theta_2(2S_0)}{\theta_1(z) \theta_2(2S_0)},$$

$$Z = 4iN(-z + vt) + 2d, \quad \theta_1(z) = \theta[0,0](z), \quad \theta_2(z) = \theta[\frac{1}{2}, 0](z), \quad \theta_3(z) = \theta[0,0](z).$$

Отметим также, что решения  $\bar{Q}_X^+(z, -z + vt) = (\Theta_1, \Theta_2, \Theta_3)$  обладают свойством  $\bar{Q}_X^+(z, -z + vt) = (\Theta_1, -\Theta_2, -\Theta_3)$ , а решения  $\bar{Q}_X^-(z, -z + vt)$  - свойством  $\bar{Q}_X^-(z, -z + vt) = (-\Theta_1, -\Theta_2, \Theta_3)$ .

Решение  $\bar{Q}_X^+(z, -z + vt)$  построено по римановой поверхности, определяемой "свободными" краевыми зонами  $\Gamma_0$  (соответственно  $\bar{Q}_X^+(z, -z + vt)$  - по краевым зонам  $E_1$  и  $E_2$ ). По кривой  $\Gamma_0$  краевым зонам  $-c$  и  $-c$  строятся решения, разное  $\bar{Q}_X^-(z, -z + vt)$  (соответственно по  $-e_1$  и  $-e_2$  строятся  $\bar{Q}_X^-(z, -z + vt)$ ), описываемые

точно такую же волну, движущуюся вправо волне  $\bar{Q}_X(x-ut)$ . Если же  $c = -c$  ( $\epsilon_1 = -\epsilon_2$ ), то, как видно из формул (8.2), (8.4), получаются стационарные волнообразные с периодами (8.3), (8.5) резонансы, которые обозначим  $\bar{Q}_X(x)$ ,  $\bar{Q}_X(x)$ . Разумеется, резонансы типа (8.17), (8.6) легче найти прямой подстановкой выражения  $\bar{S}(x-ut)$  в формулу (1.1). Однако заметим, что кроме решений (8.1), (8.6) мы также и соответствующие  $\bar{U}$ -функции, которые позволяют представить процедуру "одрезания" (см. § 3), т.е. построить резонансы, определяющие взаимодействие квантовых волн  $\bar{Q}$  с солитонами, брэгговскими и доменные стенки.

Резонансы, относящиеся по кривой  $\Gamma_0$  рода  $g=2$ , есть дугобразное решение, описывающее взаимодействие двух квантовых волн  $\bar{Q}_X(x-ut)$  и  $\bar{Q}_X(x-ut)$ . В общем случае оно выражается в терминах дугобразных  $\bar{z}$ -функций Раванна и довольно сложно поддается исследованию. Однако, как совсем недавно было выяснено, в некоторых случаях невозможны (т.е. не существуют и взаимодействия квантовых волн и солитонов) мутуальные резонансы также выражаются в алгебраических функциях [6, 32]. В работах [3, 6, 7, 17, 40] было предложено несколько различных способов выписания решений в алгебраических функциях и  $\bar{z}$ -функциях меньшей размерности из общих конформных. Так, В.Д. Белоголов и В.С. Зюльковский [7] предложили схему, основанную на приведении абелевых интегралов к эллиптическим, а В.Б. Матвеев, М.В. Рыбач и один из авторов [3] — схему, основанную на резонансах многомерных  $\bar{z}$ -функций, отмечая важным преимуществом с боковыми группами автоморфизмов. Мы рассмотрим подробнее такие поверхности рода  $g=2$  и  $g=3$ .

Кривые  $\Gamma_{A1}$  (рис.12) и  $\Gamma_{A0}$  (рис.13)

$$\omega^2 = (\lambda^2 - \alpha^2)(\lambda^2 - c^2)(\lambda^2 - \bar{c}^2) \quad (8.7)$$

обладает кривой  $\Phi: (\lambda, \omega) \rightarrow (-\lambda, -\omega)$  и, т.е.  $\Gamma_0$  является

§) Отметим, что  $\Phi$  не меняет листа  $\Gamma_0$ .

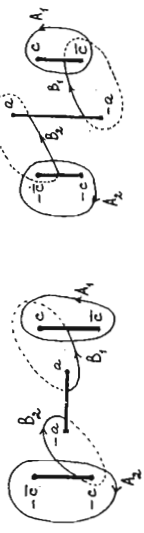


Рис.12 Рис.13

он накрытия кривой  $\Gamma_0/\Phi$  рода  $g=1$ . Это разветвленное двулистное накрытие. Схема схемы резонанса  $\bar{z}$ -функций таких накрытий приведена в приложении. В обозначениях приложения  $\Gamma_0 = \bar{c}$ ,  $\bar{c} = \beta/\phi$ ,  $\bar{c}$  задается уравнением

$$\omega^2 = z(z - \alpha^2)(z - c^2)(z - \bar{c}^2), \quad (8.8)$$

неподвижные точки  $\Phi$  — это  $\lambda = \infty$  на обеих листах ( $n=1$ ). Дуги  $A_1 = \alpha_1$ ,  $\beta_1 = \epsilon_1$ ,  $A_2 = \alpha_2$ ,  $\beta_2 = \epsilon_2$ . Нормированные локальные дифференциалы равны

$$dU_1 = u_1 = \frac{-\alpha_1 \lambda \beta_1}{\omega} d\lambda, \quad dU_2 = u_2 = \frac{-\alpha_2 \lambda \beta_2}{\omega} d\lambda.$$

Нормированный голоморфный дифференциал  $U$  кривой  $\bar{c}$  (8.8) равен

$$U = u_1 - u_2 = \frac{2\beta_1 d\lambda}{\omega} = \frac{\beta_1 d\bar{z}}{\omega_1} \quad (\bar{z} = \lambda^2). \quad (8.9)$$

Нормированный дифференциал Дресса

$$W = u_1 + u_2 = -\frac{2\alpha_1 \lambda d\lambda}{\omega} = -\frac{\alpha_1 d\bar{z}}{\omega_2} \quad (8.10)$$

также алгебраический, он задан на кривой  $\bar{c}_*$ , определяемой уравнением

$$\omega_2^2 = (z - \alpha^2)(z - c^2)(z - \bar{c}^2). \quad (8.11)$$

Кривые  $\zeta$  (рис. 14) и  $\zeta'$  (рис. 15) для случая легкой плоскости изображены вместе с базисом, отмеченным дифференциалами  $U$  и  $W$  (для кривой  $\Gamma$  по рисунку совершенно аналогично).



Рис. 14  $\zeta$

Рис. 15  $\zeta'$

Константы  $\alpha$  и  $\beta$  вычисляются из нормировки

$$\oint_A U = 1, \quad \oint_A W = 1, \quad (8.12)$$

где интегрирование ведется по  $A$  - цепкам соответственно поверхности  $\zeta$  (8.8) и  $\zeta'$  (8.11). Матрица периодов кривой  $\zeta$  равна (см. П.4)

$$B = \begin{pmatrix} \frac{\pi+T}{2} & \frac{\pi-T}{2} \\ \frac{\pi-T}{2} & \frac{\pi+T}{2} \end{pmatrix}, \quad T = \oint_B U, \quad \Pi = \oint_B W. \quad (8.13)$$

Определив ее тета-функции представляются согласно (П.8) через следующие тета-функции

$$\begin{aligned} \theta((z_1, z_2) | B) &= \theta[\infty, \infty](z_1 + z_2 | 2\pi) \theta[\infty, \infty](z_1 - z_2 | 2T) + \\ &+ \theta[\frac{1}{2}, 0](z_1 + z_2 | 2\pi) \theta[\frac{1}{2}, 0](z_1 - z_2 | 2T) = \\ &= \theta_3(z_1 + z_2 | 2\pi) \theta_3(z_1 - z_2 | 2T) + \theta_2(z_1 + z_2 | 2\pi) \theta_2(z_1 - z_2 | 2T), \quad (8.14) \end{aligned}$$

где  $\theta_3$  и  $\theta_2$  - тета-функции Якоби.  $V$ ,  $W$  и  $z_0$  (см. теорему 6 § 6) также обладают определенной симметрией. Из соображения (6.16) следует, что

$$V = 4\pi i \alpha \begin{pmatrix} 1 \\ 1 \end{pmatrix}, \quad W = 8\pi i \beta \begin{pmatrix} 1 \\ -1 \end{pmatrix}. \quad (8.15)$$

Для векторов  $z_0$  получаем

$$z_0 = \int_{\Gamma} dU = \int_{\Sigma} U_i' = \int_{\partial \Sigma} \phi(u_i) = - \int_{\Sigma} U_i' = - \int_{\Sigma} U_i',$$

откуда

$$z_0 = S_0 \begin{pmatrix} 1 \\ -1 \end{pmatrix}, \quad S_0 = \int_{\Gamma} W, \quad (8.16)$$

где контур  $\Gamma$  изображен на рис. 14. Подставляя (8.14)-(8.16) в (6.13), получаем окончательное выражение для решения  $\bar{S}(x, t) = \bar{S}X_{i\tau}(x, t)$  (см. (I.15))

$$\begin{aligned} A &= \theta_3(z_1 | 2\pi) \theta_3(z_2 - s_0 | 2T) + \theta_2(z_1 | 2\pi) \theta_2(z_2 - s_0 | 2\pi), \\ B &= \theta_3(z_1 | 2\pi) \theta_3(z_2 + s_0 | 2T) + \theta_2(z_1 | 2\pi) \theta_2(z_2 + s_0 | 2\pi), \\ C &= \theta_3(z_1 | 2\pi) \theta_3(z_2 - s_0 | 2T) - \theta_2(z_1 | 2\pi) \theta_2(z_2 - s_0 | 2\pi), \\ D &= -\theta_3(z_1 | 2\pi) \theta_3(z_2 + s_0 | 2T) + \theta_2(z_1 | 2\pi) \theta_2(z_2 + s_0 | 2\pi), \end{aligned} \quad (8.17)$$

$$z_1 = 4d_1 x + d_2, \quad z_2 = 8\beta t + d_2,$$

где  $d_1, d_2 \in \mathbb{R}$  - произвольные. При выводе этой формулы мы учли условия (7.9) ( $\mu=0$ ) и то, что  $\eta = (\frac{1}{2}, \frac{1}{2})$ . Величины  $\alpha, \beta$  определяются из (6.9), (6.10), (6.12), где  $U$  и  $W$  - дифференциалы кривых  $\zeta$  (8.8) и  $\zeta'$  (8.11), периоды которых заданы равенствами (8.13).  $S_0$  - матрица (8.16).

Решение  $\bar{Q}_{X, \tau}(z, t)$  (8.15) - это периодическая по  $X$  с периодом  $X = \frac{1}{4\omega_1}$  и периодическая по  $t$  с периодом  $T = \frac{1}{8\beta t}$  стоячая волна, которая описывает нетривиальное взаимодействие двух бегущих с одинаковыми скоростями навстречу друг другу волн  $\bar{Q}(z - ut)$  и  $\bar{Q}(z + ut)$  (см. (8.2)). Величины  $A \pm C$  и  $B \pm D$  представляют собой просто произведение двух функций, одна из которых зависит только от  $X$ , а другая - только от  $t$ . В этом смысле, решение (8.17) является аналогом известного алгебра Ламба (см. [32]) для уравнения Sinh-Gordon.

Другое нетривиальное решение в случае легкой широкости отвечает  $\Gamma_{AN}$  (см. рис.16). Анализ проводится совершенно параллельно случаю



Рис.16

зад, рассмотренному выше. Окончательно получаем, что  $2^{\pm} = \frac{1}{4} \pm$  стоячая волна, описывающая взаимодействие различных пар волн  $\bar{Q}_{X, \tau}(z - ut)$  и  $\bar{Q}_{X, \tau}(z + ut)$  (4 комбинации), заданных выражениями (8.17), где  $z_1 = 4i(d_1x + d_1 + \frac{\delta_1}{2})$ ,  $z_2 = 8i\beta t + d_1 + \frac{\delta_2}{2}$ ;  $i d_1, i d_2 \in \mathbb{R}$  - произвольные числа,  $\delta_1$  и  $\delta_2$  могут принимать значения 0 и  $\pi$ .

Из замечания 9 § 7 следует, что существенно отличными являются только 2 решения, отвечающие, например, следующему выбору  $\bar{S}$ :  $\bar{S} = (c_1, 0)$ ,  $\bar{S} = (1, 0)$ , т.е. решения, описывающие взаимодействие  $Q^+ \circ Q^+$  и  $Q^+ \circ Q^-$ ; другие 2 стоячие волны отличаются от них тривиально.

Отметим также, что решение, описывающему взаимодействие стациона-

рной волны  $\bar{Q}(z)$  и компактной волны  $\bar{Q}(z - ut)$  отвечает поверхность рода 2  $\omega^2 = (\lambda^2 - a^2)(\lambda - c)(\lambda - \bar{c})(\lambda^2 + d^2)$ ,  $d \in \mathbb{R}$ , ее обложка является топологически симметрией, поэтому можно взаимодействующие сложнее и описывается двумя реальными тета-функциями.

И, наконец, рассмотрим специальное решение рода  $g=3$ , отвечающее поверхности  $\bar{C}$

$$\omega^2 = (\lambda^2 - a^2)(\lambda^2 - c^2)(\lambda^2 - \bar{c}^2)(\lambda^2 + d^2), d \in \mathbb{R}. \quad (8.18)$$

Как видно из рис. 17 (в случае легкой оси все абсолютно аналогично), решение, отвечающее такой поверхности, описывает взаимодействие трех

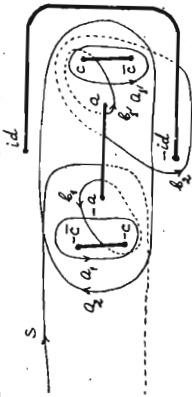


Рис.17

волн:  $\bar{Q}(z)$ ,  $\bar{Q}(z - ut)$  и  $\bar{Q}(z - ut)$ . Такая поверхность (8.18) обладает инволюцией  $\phi(\lambda, \omega) = (-\lambda, \omega)$ , которая не превращает бесконечно удаленные точки оси  $\omega = \infty$  и действует на обложку  $H_1(\bar{C}, \mathbb{Z})$  (см. рис.17) так, как это указано в приложении.

Здесь  $\bar{C} = \bar{C}/\phi$ , т.е. задается уравнением

$$\omega_1^2 = (z - a^2)(z - c^2)(z - \bar{c}^2)(z + d^2), \quad (8.19)$$

$g=3$ ,  $g=1$ ,  $n=2$ , неположенные точки 0 и  $\infty$ . Нормированный дифференциал  $\bar{C}$  равен

$$U = u_1 - u_1' = \frac{d\lambda d\lambda}{\omega} = \frac{d\lambda dz}{2\omega_1}, \quad z = \lambda^2,$$

нормированные дифференциалы Липша

$$W_1 = u_1 + u_1 \nu = \frac{(\beta_1 \lambda^2 + \gamma_1) d\lambda}{\omega} = \frac{(\beta_1 z + \gamma_1) dz}{2\omega_2}$$

$$W_2 = u_2 = \frac{(\beta_2 \lambda^2 + \gamma_2) d\lambda}{\omega} = \frac{(\beta_2 z + \gamma_2) dz}{2\omega_2}$$

(8.20)

$$\omega_2^2 = z(z - \alpha^2)(z - c^2)(z - z^2)(z + d^2)$$

откуда из равенства (8.16) следует, что векторы  $V$  и  $W$  равны

$$V = -2\pi i \begin{pmatrix} \beta_1 \\ 2\beta_2 \\ \beta_1 \end{pmatrix}, \quad W = 4\pi i \begin{pmatrix} \alpha \\ 0 \\ \alpha \end{pmatrix}. \quad (8.21)$$

Для матрицы  $\beta$  — периодов согласно (II.4) получаем

$$B = \begin{pmatrix} \frac{\Gamma_{11} + T}{2} & \Gamma_{12} & \frac{\Gamma_{11} - T}{2} \\ \Gamma_{21} & 2\Gamma_{22} & \Gamma_{21} \\ \frac{\Gamma_{11} - T}{2} & \Gamma_{12} & \frac{\Gamma_{11} + T}{2} \end{pmatrix}. \quad (8.22)$$

Выводя, аналогично (8.16), показываем, что матрица

$$Z_0 = \int d\vec{T} = \int_S u_1 \nu = - \int_S u_2 = - \int_S u_1 \nu - \int_S u_2 \nu$$

(пусть  $S$  указана на рис.17) равен

$$Z_0 = \begin{pmatrix} S_0 \\ -\frac{1}{2} \\ S_0 \end{pmatrix} + \begin{pmatrix} \Gamma_{12} \\ 2\Gamma_{22} \\ \Gamma_{12} \end{pmatrix}, \quad S_0 = \int_{\infty}^{\infty} \nu. \quad (8.23)$$

И окончательно, проводя необходимые вычисления (см. (II.8)), получаем,

что для любых значений  $d_1, d_2, d_3$  решение уравнения (I.1)

по формулам (I.15) определяется вычислениями

$$\begin{aligned} A &= \theta \left[ \left( \frac{1}{z_2}, \frac{1}{z_3} \right), \left( \frac{1}{z_2}, \frac{1}{z_3} \right) \right] \left[ \frac{z_1}{z_2} \middle| 2\pi \right] \theta \left[ \frac{z_1}{z_2} \middle| 2\pi \right] \theta \left[ \frac{z_1}{z_3} \middle| 2\pi \right] + \\ &+ \theta \left[ \left( \frac{1}{z_2}, \frac{1}{z_3} \right), \left( \frac{1}{z_2}, \frac{1}{z_3} \right) \right] \left[ \frac{z_1}{z_2} \middle| 2\pi \right] \theta \left[ \frac{z_1}{z_3} \middle| 2\pi \right] \theta \left[ \frac{z_1}{z_2} \middle| 2\pi \right] \theta \left[ \frac{z_1}{z_3} \middle| 2\pi \right], \\ B &= \theta \left[ \left( \frac{1}{z_2}, \frac{1}{z_3} \right), \left( \frac{1}{z_2}, \frac{1}{z_3} \right) \right] \left[ \frac{z_1}{z_2} \middle| 2\pi \right] \theta \left[ \frac{z_1}{z_3} \middle| 2\pi \right] \theta \left[ \frac{z_1}{z_2} \middle| 2\pi \right] + \\ &+ \theta \left[ \left( \frac{1}{z_2}, \frac{1}{z_3} \right), \left( \frac{1}{z_2}, \frac{1}{z_3} \right) \right] \left[ \frac{z_1}{z_2} \middle| 2\pi \right] \theta \left[ \frac{z_1}{z_3} \middle| 2\pi \right] \theta \left[ \frac{z_1}{z_2} \middle| 2\pi \right] \theta \left[ \frac{z_1}{z_3} \middle| 2\pi \right], \\ C &= \theta \left[ \left( \frac{1}{z_2}, \frac{1}{z_3} \right), \left( \frac{1}{z_2}, \frac{1}{z_3} \right) \right] \left[ \frac{z_1}{z_2} \middle| 2\pi \right] \theta \left[ \frac{z_1}{z_3} \middle| 2\pi \right] \theta \left[ \frac{z_1}{z_2} \middle| 2\pi \right] + \\ &+ \theta \left[ \left( \frac{1}{z_2}, \frac{1}{z_3} \right), \left( \frac{1}{z_2}, \frac{1}{z_3} \right) \right] \left[ \frac{z_1}{z_2} \middle| 2\pi \right] \theta \left[ \frac{z_1}{z_3} \middle| 2\pi \right] \theta \left[ \frac{z_1}{z_2} \middle| 2\pi \right] \theta \left[ \frac{z_1}{z_3} \middle| 2\pi \right], \\ D &= \theta \left[ \left( \frac{1}{z_2}, \frac{1}{z_3} \right), \left( \frac{1}{z_2}, \frac{1}{z_3} \right) \right] \left[ \frac{z_1}{z_2} \middle| 2\pi \right] \theta \left[ \frac{z_1}{z_3} \middle| 2\pi \right] \theta \left[ \frac{z_1}{z_2} \middle| 2\pi \right] + \\ &+ \theta \left[ \left( \frac{1}{z_2}, \frac{1}{z_3} \right), \left( \frac{1}{z_2}, \frac{1}{z_3} \right) \right] \left[ \frac{z_1}{z_2} \middle| 2\pi \right] \theta \left[ \frac{z_1}{z_3} \middle| 2\pi \right] \theta \left[ \frac{z_1}{z_2} \middle| 2\pi \right] \theta \left[ \frac{z_1}{z_3} \middle| 2\pi \right]. \end{aligned} \quad (8.24)$$

Здесь  $z_1 = -2i\beta_1 z + d_1, z_2 = -2i\beta_2 z + d_2, z_3 = 4i\alpha z + d_3$ . Это решение периодическое с периодом  $C = \frac{1}{4i\alpha}$  по  $t$  и невырожденное сложного значения от  $z$ .

Аналогично, для любой кривой рода  $g = 2g + n - 1$ , обладающей  $n$  ветвями с неограниченными точками  $\infty^+$  и  $\infty^-$ , дивиденда по  $z$  ограничена на прямой  $\Pi$  размерности  $g + n - 1$ , а дивиденда по  $t$  — на любой  $T$  размерности  $g$ .

### § 9. N-СЛОИТНЫЕ РЕШЕНИЯ В СЛУЧАЕ "НЕГЛАДКАЯ ШИРОКОСТЬ"

Рассмотрим кривую  $\Gamma_{\Pi}$ , изображенную вместе с безломом шлюзов на рис.18 и повернутым точкам ветвления  $E_j, j=1, \dots, 2g$  следующему предельному пороходу:

$$E_{2k-1}, E_{2k} \rightarrow \lambda_k \in (-a, a), \quad k=1, \dots, g. \quad (9.1)$$

$$\lambda_1 < \lambda_2 < \dots < \lambda_g.$$

В силу (9.3) предельные значения для коэффициентов  $\dot{C}_\nu^1$  суть

$$\dot{C}_\nu^1 = -\dot{C}_\nu^1 \sum_{k \neq \nu} \lambda_k = \frac{1}{2\pi} \alpha_\nu \sum_{k=1}^n \lambda_k, \quad \nu=1, \dots, g.$$

Отсюда для компонент векторов  $\vec{V}$  и  $\vec{W}$  имеем

$$\vec{V}_\nu \rightarrow \vec{V}_\nu^1 = -4\pi i \dot{C}_\nu^1 = 2i \alpha_\nu, \quad (9.4)$$

$$\vec{W}_\nu \rightarrow \vec{W}_\nu^1 = 8\pi i \left( \dot{C}_\nu^1 \sum_{k=1}^n \lambda_k + \dot{C}_\nu^2 \right) = -4i \alpha_\nu \lambda_\nu.$$

Приступим теперь к вычислению предельных значений для матрицы  $\mathcal{B}$  — пределов элементов  $d\vec{U}_\nu$ . Пусть  $\nu > \mu$ . Тогда

$$\mathcal{B}_{\nu\mu} \rightarrow \dot{\mathcal{B}}_{\nu\mu} = 2 \int \frac{d\vec{U}_\nu}{\lambda_\nu} = -\frac{i}{\pi} \alpha_\nu \frac{\gamma_\nu - \gamma_\mu}{\gamma_\nu + \gamma_\mu}, \quad (9.5)$$

где  $\gamma_\nu = \sqrt{\frac{\alpha - \lambda_\nu}{\alpha + \lambda_\nu}} > 0$ . В силу омакратности матрицы  $\mathcal{B}$  при  $\nu < \mu$  для  $\dot{\mathcal{B}}_{\nu\mu}$  из (9.5) следует, что

$$\dot{\mathcal{B}}_{\nu\mu} = -\frac{i}{\pi} \alpha_\nu \frac{\gamma_\nu - \gamma_\mu}{\gamma_\nu + \gamma_\mu}. \quad (9.6)$$

Диагональные элементы матрицы  $\mathcal{B}$  конечных пределов не имеют. Нословные выкладки показывают, что

$$\text{Re}(i\mathcal{B}_{\nu\nu}) = \frac{1}{\pi} \alpha_\nu |E_{2\nu+1} - E_{2\nu}| + O(1),$$

т.е. при рассматриваемом предельном переходе

$$\text{Re}(i\mathcal{B}_{\nu\nu}) \rightarrow -\infty. \quad (9.7)$$

Нам осталось обсудить поведение векторов  $\vec{z}$  и  $\vec{D}$ . Для вектора  $\vec{z}$  имеем

$$\vec{z}_\nu \rightarrow \frac{1}{2\pi i} z_\nu^0 + 1, \quad z_\nu^0 = -4\pi i \int_\alpha^{\infty} dU_\nu(\lambda) = -2 \alpha_\nu \frac{i\gamma_\nu + 1}{i\gamma_\nu - 1}. \quad (9.8)$$

Заметим, что

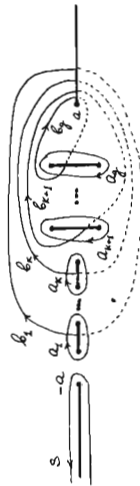


Рис. 1В

Кривая  $\Gamma_{\text{ЛП}}$  вырождается при этом в кривую рода нуля — риманову поверхность функции  $\sqrt{\lambda^2 - \alpha^2}$ , а голоморфные дифференциалы  $dU_\nu(\lambda)$  — в дифференциалы с особенностями в точках  $\lambda_k$ :

$$dU_\nu(\lambda) \rightarrow d\dot{U}_\nu(\lambda) = \frac{\dot{\varphi}_\nu(\lambda)}{\sqrt{\lambda^2 - \alpha^2}} \prod_{k=1}^g (\lambda - \lambda_k) d\lambda,$$

$$\dot{\varphi}_\nu(\lambda) = \sum_{k=1}^g c_k \lambda^{\nu-k}.$$

Полиномы  $\dot{\varphi}_\nu(\lambda)$  определяются из условий нормировки

$$\dot{\mathcal{S}}_\nu^1 = \int \dot{d}\dot{U}_\nu(\lambda) = -2\pi i \text{res}(d\dot{U}_\nu(\lambda); \lambda_\nu) =$$

$$\alpha_\nu \int \frac{2\pi i}{\sqrt{\lambda^2 - \alpha^2}} \dot{\varphi}_\nu(\lambda_\nu) \prod_{k \neq \nu} (\lambda_\nu - \lambda_k) d\lambda$$

и, следовательно, равны  $\dot{C}_\nu^1 \prod_{k \neq \nu} (\lambda_\nu - \lambda_k)$ , где

$$\dot{C}_\nu^1 = \frac{i}{2\pi} \sqrt{\lambda_\nu^2 - \alpha^2} = -\frac{1}{2\pi} \alpha_\nu, \quad \alpha_\nu = \sqrt{\alpha^2 - \lambda_\nu^2} > 0. \quad (9.2)$$

Поскольку дифференциалы  $d\dot{U}_\nu(\lambda)$  можно записать в виде

$$d\dot{U}_\nu(\lambda) = -\frac{1}{2\pi} \frac{\alpha_\nu}{\sqrt{\lambda^2 - \alpha^2}} (\lambda - \lambda_\nu) d\lambda. \quad (9.3)$$

$$\operatorname{Re} \tilde{\gamma}_y = 0. \quad (9.9)$$

Что же касается вектора  $\mathcal{D}$ , то это — свободный параметр, и мы вправе задать его поведение при предельном переходе (9.1) по своему усмотрению. Докажем, что

$$\mathcal{D}_y = \frac{1}{2} B_{y\mu} + \frac{1}{2} \tilde{\gamma}_y + o(1), \quad (9.10)$$

где  $\tilde{\gamma}_y$  — пока произвольные комплексные числа. На этом вычисление предельных значений всех входящих в формулу (6.13) параметров заканчивается, и мы оказываемся в состоянии написать предельные выражения для соответствующих решений уравнения I-1.

Представим покачать эволюента, входящий в определение ряда

$$\theta(\Omega + \mathcal{D} + \ell z + \kappa n) \quad (\ell = 0, 1; \kappa = 0, 1) \quad , \quad \text{в виде}$$

$$\pi i \sum_{\nu=1}^2 B_{\nu\mu} m_\nu (m_\nu + 1) + 2\pi i \sum_{\nu>\mu} B_{\nu\mu} m_\nu m_\mu +$$

$$+ \sum_{\nu=1}^2 m_\nu (\sqrt{y} x + \sqrt{y} y t + \tilde{\gamma}_y + \ell \tilde{\gamma}_y + \kappa \pi i + o(1)).$$

В силу (9.7), при предельном переходе (9.1), из всей бесконечной суммы, входящей в определение  $\theta(\Omega + \mathcal{D} + \ell z + \kappa n)$  остаются только члены, отвечающие векторам  $m$ , принадлежащими множеству значений  $\{0, -1\}^2$  вне  $[0, -1]^2$ . Легко образом, учитывая формулы (9.4)–(9.8), мы приходим к тому, что при предельном переходе (9.1), (9.10)  $\theta(\Omega + \mathcal{D} + \ell z + \kappa n) \rightarrow \theta_K^{\ell}(\alpha, t)$ , где

$$\theta_K^{\ell}(\alpha, t) = \sum_{m \in \{0, -1\}^2} \exp \left\{ \sum_{\nu>\mu} \ell m_{\nu} \left| \frac{y_{\nu} - y_{\mu}}{y_{\nu} + y_{\mu}} \right| m_{\nu} m_{\mu} + \right. \\ \left. + \sum m_{\nu} (-2\alpha_{\nu} x + 4\alpha_{\nu} y t + \tilde{\gamma}_y + \ell \tilde{\gamma}_y + \kappa \pi i) \right\}, \quad (9.11)$$

а получившееся в результате рассматриваемого предельного перехода решение уравнения I-1 описывается формулой

$$A = \theta_0^{\ell}(\alpha, t), \quad B = \theta_1^{\ell}(\alpha, t), \quad C = \theta_2^{\ell}(\alpha, t), \quad D = -\theta_3^{\ell}(\alpha, t). \quad (9.12)$$

Последнее, что осталось выписать, — это условия на вектор  $\tilde{\gamma}_y$ , гарантирующие адекватность решения (9.12). Так как все величины  $\sqrt{y}$ ,  $2\alpha_{\nu}$ ,  $\lambda_{\nu}$  действительны, а  $\tilde{\gamma}_y$  — чисто мнимы, то действие сопряжения на  $\theta_K^{\ell}(\alpha, t)$  сводится лишь к замене в правой части (9.11)  $\tilde{\gamma}_y$  на  $\bar{\tilde{\gamma}}_y$  и  $\tilde{\gamma}_y$  на  $-\bar{\tilde{\gamma}}_y$ . Отсюда легко понять, что соотношение (7.1) выполняется в рассматриваемой ситуации требованиям

$$\bar{\tilde{\gamma}}_y - \tilde{\gamma}_y = \tilde{\gamma}_i + \tilde{\gamma}_y + 2\tilde{\gamma}_z, \quad \tilde{\gamma}_z = 0, \quad \tilde{\gamma}_x = 0. \quad (9.13)$$

Итак, формулами (9.11), (9.12) при условии (9.13) описывается действительное решение уравнения I-1, параметризуемое  $2g$  — действительными параметрами:  $(\lambda_1, \operatorname{Re} \tilde{\gamma}_y)_{g=1}$ . При  $g=1$  получается особый случай, найденный ранее в § 4 с помощью метода "одежды":

$$\theta_K^{\ell} = 1 + \epsilon \kappa \rho \{ -2\alpha x + 4\alpha y t - \tilde{\gamma}_y - \ell \tilde{\gamma}_y - \pi i \kappa \} \rightarrow,$$

$$S_3(\alpha, t) = \pm \frac{1 + \alpha^2 - \lambda^2}{\alpha} \frac{1}{\alpha} \frac{1}{\alpha \sqrt{4\alpha^2 - \lambda^2}},$$

$$S_1(\alpha, t) = -\frac{1}{\alpha} \frac{1}{\alpha \sqrt{4\alpha^2 - \lambda^2}} (x - 2\lambda t + \alpha), \quad (9.14)$$

$$S_2(\alpha, t) = \mp \frac{1}{\alpha} \frac{1}{\alpha \sqrt{4\alpha^2 - \lambda^2}} (x - 2\lambda t + \alpha),$$

где  $\Delta = -\operatorname{Re} \tilde{\gamma}_y$ , знак "+" в  $S_3$  и "-" в  $S_2$  соответствует знаку  $\Delta$ . При  $g > 1$  формулы (9.11), (9.12) описывают процесс взаимодействия  $g$  простых солитонов (9.14) между собой. Правой частью взаимодействия (см., например, [25]) сумм, стоящей в правой части равенства (9.11), при  $t \rightarrow \pm \infty$  и  $x - 2\lambda t = \epsilon \alpha \kappa t$  показывает, что  $i$ -й солитон, движущийся при  $t \rightarrow +\infty$  со скоростью  $\lambda_j$  и фазу  $\tilde{\gamma}_j$ , при  $t \rightarrow +\infty$  несет ту же скорость  $\lambda_j$  и фазу

$$\Delta_j^+ = \tilde{\gamma}_j^+ + 2 \sum_{\nu>j} \ell m_{\nu} \left| \frac{y_{\nu} - y_j}{y_{\nu} + y_j} \right| - 2 \sum_{\nu=1}^{j-1} \ell m_{\nu} \left| \frac{y_j - y_{\nu}}{y_j + y_{\nu}} \right|. \quad (9.15)$$



§ 10. ВЗАИМОДЕЙСТВИЕ ПРОСТОГО СЛОВАЧА С КРИВАМИ ВОЛНЫ  
(СЛУЧАЙ "ЛЕНТОЙ ПЛОСКОСТИ")

Рассмотрим "частичное" изложение кривой  $\Gamma$  на предыдущего ша-  
рафа, случаи  $g=2$ :  
 $E_1 \rightarrow E_2 \rightarrow \lambda_0 \in (-a, a)$

$$E_3 = \bar{E}_4 \equiv c; \quad \forall m \in \phi_0.$$

"Предельная" кривая изображена на рис. 19.

(10.1)

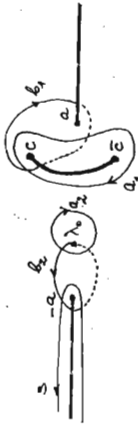


Рис. 19

В отличие от ситуации § 9 род предельной кривой уменьшается не до нуля. На двух голоморфных дифференциалов один в предельном остается голоморфным

$$dU_1(\lambda) \rightarrow d\bar{U}_1(\lambda) = \frac{\dot{C}_1^2 d\lambda}{\sqrt{(\lambda^2 - a^2)(\lambda - c)(\lambda - \bar{c})}},$$

$$dU_2(\lambda) \rightarrow d\bar{U}_2(\lambda) = \frac{\dot{C}_2^2 \lambda + \dot{C}_2^2}{(\lambda - \lambda_0) \sqrt{(\lambda^2 - a^2)(\lambda - c)(\lambda - \bar{c})}} d\lambda. \quad (10.2)$$

Условия нормировки в предельном принимают вид

$$\dot{C}_i^2 = \left[ \int_{a_1}^{\lambda} \frac{d\lambda}{\sqrt{(\lambda^2 - a^2)(\lambda - c)(\lambda - \bar{c})}} \right]^{-1}$$

$$\dot{C}_2^2 \lambda + \dot{C}_2^2 = \frac{1}{2\pi i} \sqrt{(\lambda^2 - a^2)(\lambda - c)(\lambda - \bar{c})},$$

$$\int_{a_1}^{\lambda} \frac{\dot{C}_2^2 \lambda + \dot{C}_2^2}{(\lambda - \lambda_0) \sqrt{(\lambda^2 - a^2)(\lambda - c)(\lambda - \bar{c})}} d\lambda = 0. \quad (10.3)$$

Отсюда для компонент векторов  $V$  и  $W$  получаем представления

$$V_1^i = 4\pi i N, \quad W_1^i = -4\pi i N U^i,$$

$$V_2^i = 2i \dot{C}_2^i, \quad W_2^i = 4i \dot{C}_2^i \lambda_0, \quad (10.4)$$

где

$$N = \dot{C}_1^2 \left[ \int_{a_1}^{\lambda} \frac{d\lambda}{\sqrt{(\lambda^2 - a^2)(\lambda - c)(\lambda - \bar{c})}} \right]^{-1}, \quad U^i = c + \bar{c}, \quad \lambda_0 = \lambda_0 + \frac{U^i}{2} + \Lambda_{0i},$$

$$\Lambda_{0i} = - \left( \int_{a_1}^{\lambda} \frac{\lambda d\lambda}{(\lambda - \lambda_0) \sqrt{(\lambda^2 - a^2)(\lambda - c)(\lambda - \bar{c})}} \right) / \left( \int_{a_1}^{\lambda} \frac{d\lambda}{(\lambda - \lambda_0) \sqrt{(\lambda^2 - a^2)(\lambda - c)(\lambda - \bar{c})}} \right),$$

$$\dot{C}_2^i = -2\pi \dot{C}_2^i = 2\pi \frac{1}{2\pi i} \sqrt{(\lambda_0^2 - a^2)(\lambda_0 - c)(\lambda_0 - \bar{c})} \lambda_0 + \Lambda_{0i}.$$

Вектор  $Z$  и элементы  $B_{ij}$  матрицы  $B$  -перматов также в предельном выражаются через эллиптические интегралы

$$Z \rightarrow \bar{Z} = \int_{\bar{S}} d\bar{U}^i(\lambda), \quad \bar{B}_{ij} = \int_{\bar{S}} d\bar{U}^i(\lambda) \cdot \bar{U}^j(\lambda), \quad i, j = 1, 2.$$

В отличие от ситуации § 9 только элемент  $B_{22}$  матрицы  $B$  -перматов стремится к  $i\infty$ . Поэтому условие типа (9.10) естественно написать на вторую компоненту вектора  $Z$ , оставив первую ограниченной

$$Z_1 \equiv d^i, \quad Z_2 = \frac{1}{2\pi i} \dot{\eta} + \frac{1}{2} B_{22} + o(1), \quad d^i, \dot{\eta} \in \mathbb{C}. \quad (10.5)$$

В результате исходное суммирование в тета-плоскости  $\theta(\Omega + 2i + \rho_c + k\hbar)$  по  $m \in \mathbb{Z}$  при рассматриваемом предельном переходе заменяется на суммирование по  $m \in \mathbb{Z} \setminus \{0, -1\}$ , и для  $\theta_k^{\circ}(\alpha, t) = \varrho_m \theta(\Omega - 2i - \rho_c, m)$  получаются формулы

$$\begin{aligned} \theta_k^{\circ}(\alpha, t) &= \theta_3(2iN(\alpha - vt) + d + \rho_c \hat{z}_i + \frac{k}{2} |\hat{B}_4|) + \\ &+ \theta_2(2iN(\alpha - vt) + d + \rho_c \hat{z}_i + \frac{k}{2} - \hat{B}_{42} | \hat{B}_5) \exp\{-2\hat{z}_0(\alpha - 2\hat{\lambda}_0 t)\} - \end{aligned} \quad (10.6)$$

$$- \hat{\rho}_i - 2\pi i \hat{\rho}_i \hat{z}_i - k\pi i \}.$$

Обсудим теперь вопрос вещественности. Адекватности сопоставления  $\tau$  в рассматриваемой нами реализации кривой  $\Gamma_{\text{лп}}$  меняет листы и

действует на точки  $a_j$  и  $b_j$  следующими образом:

$$\tau a_j = a_j, \quad \tau b_j = 1, 2, \quad \tau \rho_j = -\rho_j + a_j,$$

как и в § 7, приходим отсюда к заключению о вещественности всех  $\hat{c}_j$  и, следовательно, вещественности величин  $N, U, \hat{z}_0, \hat{\lambda}_0$ . Что касается матрицы  $\hat{c}$  - периодов и вектора  $\tau$ , то для них имеем

$$\hat{B}_{11}^{\circ} = -\hat{B}_{11}^{\circ} + 1, \quad \hat{B}_{12}^{\circ} = -\hat{B}_{12}^{\circ}, \quad (10.7)$$

$$\tau \gamma = \tau \gamma, \quad \nu = 1, 2.$$

Тыщи образом, рассматривая  $\bar{C} = \theta_1^{\circ}(\alpha, t)$ , получим  $\bar{C} = \theta_3(2iN(\alpha - vt) - d + |\hat{B}_{11}|) + \theta_2(2iN(\alpha - vt) - d - \hat{B}_{12} |\hat{B}_{11}) \times \exp\{-2\hat{z}_0(\alpha - 2\hat{\lambda}_0 t) - \hat{\rho}_i + \pi i\}$ .

Получая

$$\begin{aligned} -\hat{d} &= d + \tau c_1, \\ -\hat{\rho}_i &= -\hat{\rho}_i - 2\pi i \hat{\rho}_i \hat{z}_i - \pi i, \end{aligned} \quad (10.8)$$

идея, как легко видеть, достижима равенства  $\bar{C} = B$ . Нетрудно проверить, что соотношения (10.8) гарантируют также и выполнение равенства  $\bar{A} = -D$ , т.е. вещественности соответствующего решения уравнения I-I.

Поведение штот. Положили

$$\begin{aligned} \hat{d} &= id - \frac{1}{2} \hat{z}_i \equiv id - S, \\ \hat{\rho}_i &= \Delta - i\tau \hat{\rho}_i \hat{z}_i - \frac{i\pi}{2}, \quad \hat{B}_{11}^{\circ} = B, \end{aligned}$$

где  $\Delta, d$  - произвольные вещественные числа, а  $S = \frac{\rho_c}{2}$ . Тогда формулы

$$\begin{aligned} A &= \theta_1^{\circ}(\alpha, t), \quad B = \theta_1^{\circ}(\alpha, t), \quad C = \theta_1^{\circ}(\alpha, t), \quad D = -\theta_1^{\circ}(\alpha, t), \\ \theta_k^{\circ}(\alpha, t) &= \theta_3(2iN(\alpha - vt) + id - s + 2(s + \frac{k}{2} |B|) + \\ &+ \theta_2(2iN(\alpha - vt) + id - s + 2(s + \frac{k}{2} - \hat{B}_{42} |B|) \times \\ &\times \exp\{-2\hat{z}_0(\alpha - 2\hat{\lambda}_0 t) - \Delta + i\tau \hat{z}_i + \frac{i\pi}{2} - 2\pi i \hat{\rho}_i \hat{z}_i - k\pi i\} \end{aligned} \quad (10.9)$$

задает вещественное решение уравнения I-I.

Решение (10.9) может быть проинтерпретировано как описывающее процесс взаимодействия простого солитона, характеризуемого скоростью  $\hat{\lambda}_0$ , с компактной волной  $\hat{Q}_X(\alpha - vt)$ , характеризуемой вещественным периодом  $X = \frac{1}{2N}(2B-1)$  и фазовой скоростью  $U$ . Описание этого процесса подробнее. Из (10.9) следует, что присутствие солитона существенно сказывается, как и следовало ожидать, лишь в узкой полосе на скорости  $(\alpha, t)$  вокруг "солитонного" луча  $\alpha - 2\hat{\lambda}_0 t = 0$ . В областях

$$\begin{aligned} \Omega^+ &= \{(\alpha, t) : \hat{z}_0(\alpha - 2\hat{\lambda}_0 t) \ll \ll 0\}, \\ \Omega^- &= \{(\alpha, t) : \hat{z}_0(\alpha - 2\hat{\lambda}_0 t) \gg \gg 0\}, \end{aligned}$$

в частности, при фиксированном  $t$  ( $\alpha$ ) и  $\alpha \rightarrow \pm\infty$  ( $t \rightarrow \pm\infty$ ) формула (10.9) переходит в формулы  $\bar{A}$  (6.1) для невозмущенной модальности

\*) При сравнении формул (10.10) и (8.1) следует учитывать замечание 7 § 6.

волны

$$\begin{aligned} \vec{S}_z: \\ A = \theta_1(2iN(e^{-vt}) + id \cdot s|B), \\ B = \theta_2(2iN(x-vt) + id \cdot s|B), \\ C = \theta_3(2iN(x-vt) + id \cdot s|B), \\ D = -\theta_4(2iN(x-vt) + id \cdot s|B), \end{aligned}$$

Таким образом, воздействие на нуклонную волну сводится к двум эффектам.

1. Возникает спин базис (параметра  $id$ ) на величину

$$B_{12} - B_{21} = \int_{\xi_2}^{\xi_1} dV_1(\lambda) = -2 \int_{-a}^{-a} \frac{N dx}{\sqrt{(\lambda^2 - a^2)(\lambda - c)(\lambda - \bar{c})}}$$

2. Происходит поворот на  $180^\circ$  в плоскости  $(S_1, S_2)$ :

$$(S_1, S_2, S_3) \rightarrow (-S_1, -S_2, -S_3).$$

С другой стороны, как показывают формулы (10.9), (10.4), наличие "нуклонного" фазы приводит к аддитивной добавке  $2\Delta_{12}$  к скорости свободного солитона  $2\lambda$ .

Замечание 10. Рассмотрим вместо кривой, изображенной на рис.19, кривую  $\Gamma_{AP}$ , у которой все точки вращения замещены (см. рис.20).



Рис.20

мы снова приходим к тем же формулам (10.6) для комплексного решения уравнения Л-И - нужно лишь волну считать  $\bar{c} \rightarrow c$  и  $J_m c = \int_m c = c$ . Разбор условий действительности отличается от уже рассмотренного лишь одним тем, что теперь

$$\tau \theta_1 = -\theta_4$$

и, следовательно,  $\vec{B}_1 = -\vec{B}_4$  вместо того, что было в (10.7). Последнее обстоятельство приводит лишь к изменению условий на параметр

$$-\vec{d} = \vec{d} + \vec{e}_1 - \vec{2},$$

т.е.

$$\vec{d} = id - \frac{1}{2} \vec{e}_1 + \frac{1}{4} = id - s + \frac{1}{4},$$

что, в свою очередь, означает, что в формулы (10.9), (10.10) следует произвести замену

$$id \rightarrow id + \frac{1}{4}.$$

## § II. XYZ-УРАВНЕНИЕ ЛАНДАУ-ЛИФШИЦА

XYZ-уравнение Л-И (0.1)  $J_1 < J_2 < J_3$  является условием сортировки пазов (1.3), (1.4), однако, в этом случае  $W_i$  - алгебраические функции спектрального параметра  $u$  [38], прообразомегаго тор  $\hat{T}$  с решеткой  $4K, 4iK', (4K, 4iK')$  - периоды алгебраических функций любой модуль  $k$ )

$$W_1(u) = \int \frac{1}{\text{sn}(u, k)}, W_2(u) = \int \frac{dn(u, k)}{\text{sn}(u, k)}, W_3(u) = \int \frac{cn(u, k)}{\text{sn}(u, k)}, \quad (II.1)$$

$$k = \sqrt{\frac{J_2 - J_1}{J_3 - J_1}}, \quad \beta = \frac{1}{2} \sqrt{J_3 - J_1}.$$

Формулы (II.1) упрощаются соотношениями  $W_2^2 - W_3^2 = -(J_2 - J_1) / 4$ . Приведем формулировку соответствующей задачи Рунана. Пусть

$\mathcal{H}(u)$  - матричнозначная (размерности 2x2) функция, мероморфная на  $\hat{T}$ ,  $\mathcal{H}(0, 2K, 2iK', 2K + 2iK')$ , обладающая в точке  $u = 0$  асимптотическим поведением

$$\Psi^{\pm}(u) = \left( \sum_{\nu=0}^{\infty} \Phi_{\nu}(\pm t) u^{\nu} \right) \exp(-i g \pm u^{-1} \sigma_3 + 2i g^2 t u^{-2} \sigma_3) \zeta \quad (\text{II.2})$$

и соответствующая редукция

$$\sigma_1 \Psi^{\pm}(u + 2K) M_1(u) = \Psi^{\pm}(u), \quad (\text{II.3})$$

$$\sigma_3 \Psi^{\pm}(u + 2K) M_3(u) = \Psi^{\pm}(u) \quad (\text{II.4})$$

(ср. (I.11) в (I.12) в XXZ-случае). Пусть исполнятся и должны образом переформулированные условия (I.8)-(I.10). В этом случае справедливы теорема, полностью аналогичная теореме I, и формулы (I.13)-(I.15). Условия вещественности переписываются следующим образом (см. (I.17)):

$$\sigma_2 \overline{\Psi^{\pm}(\bar{u})} = \Psi^{\pm}(u) M_R(u). \quad (\text{II.5})$$

Почти полностью переписывается с XXZ-случае и процедура операции, позволяющая по функции  $\Psi^{\pm}(u)$  с данными задачи Римана  $\Lambda_0$  строить новую функцию  $\Psi^{\pm}(u)$  с данными  $\Lambda = \Lambda_0 \oplus \Lambda'$ ,  $\Lambda' = \{u_1, u_2, A_1, A_2\}$  (см. § 3). Для этого нам  $\Psi^{\pm}$  в том же виде (3.1), где теперь уже

$$\zeta(u) = \alpha W_1(u-v) \sigma_1 + \beta W_2(u-v) \sigma_2 + \gamma W_3(u-v) \sigma_3 + d, \quad (\text{II.6})$$

$v \in \mathbb{T}$  - некоторая точка, не зависящая от  $\pm, t$ , функции  $\alpha(\pm, t)$ ,  $\beta(\pm, t)$ ,  $\gamma(\pm, t)$ ,  $d(\pm, t)$  определяются из уравнений

$$\Psi^{\pm}(u_1) \zeta(A_1) = 0, \quad \Psi^{\pm}(u_2) \zeta(A_2) = 0. \quad (\text{II.7})$$

$d, t, \beta(\pm, t)$  - алгебраическая функция от  $u$ , никакая полюса второго порядка в точке  $u=v$  (II.6) и для простых нули в точках  $u_1$  и  $u_2$  (II.7), поэтому необходимо удовлетворять условиям, справедливым для нулей и полюсов любых эллиптических функций (теорема Абеля)<sup>\*)</sup>

<sup>\*)</sup> Необходимость учитывать теорему Абеля (II.8) - единственное отличие метода операции для XXZ-уравнения I-II от XXZ-случае.

$$u_1 + u_2 = 2v. \quad (\text{II.8})$$

Равенство (II.8) определяет точку  $v$ . Система (II.7) представляет собой линейную однородную систему из четырех уравнений относительно четырех неизвестных  $a, b, c, d$ . Ранг этой системы равен 3 (из  $\det \zeta(u_1) = 0$  (II.6), (II.8) следует, что  $\det \zeta(u_2) = 0$ ).

Тем самым система (II.7) полностью определяет интегрируемые нас три выражения  $a/d, b/d, c/d$ . Конкретные вычисления, связанные с системой (II.7), никаких проблем, разумеется, не представляет. Затем из  $\Psi^{\pm}$  по формулам (I.13)-(I.15) выводится "опега" решение XXZ-уравнения I-II  $\tilde{S}_0(\pm, t)$ , описывающее взаимодействие  $\tilde{S}_0(\pm, t)$  с соответствиями, определяемыми данными "опега"  $\Lambda'$ .

Таким образом определяется, вообще говоря, комплексные решения, для получения вещественных необходимо наложить некоторые ограничения на  $\Lambda'$ . Возможны две ситуации

$$1) \operatorname{Im} u_1 = -\operatorname{Im} u_2 = K', \quad (\text{II.9})$$

$$2) u_1 = \bar{u}_2. \quad (\text{II.10})$$

Мы не приводим соответствующие ограничения на  $A_i$ , которые получаются методом, аналогичным § 3.

У XXZ-уравнения I-II имеется уже 3 "вакуумных" решения

$$\tilde{S}_0^{\pm} = (0, 0, 0), \quad \Psi_0^{\pm} = \exp\{-i \alpha W_1(u) \sigma_1 + 2i t W_2(u) W_3(u) \sigma_3\}, \quad (\text{II.11})$$

$$\tilde{S}_0^{\pm} = (0, 1, 0), \quad \Psi_0^{\pm} = \exp\{-i \alpha W_2(u) \sigma_2 + 2i t W_1(u) W_3(u) \sigma_3\}, \quad (\text{II.12})$$

$$\tilde{S}_0^{\pm} = (0, 0, 1), \quad \Psi_0^{\pm} = \exp\{-i \alpha W_3(u) \sigma_3 + 2i t W_1(u) W_2(u) \sigma_3\}. \quad (\text{II.13})$$

Решение (II.13) минимизирует функционал энергии. Однако его, получаем многосоставные решения. В частности, если  $u_1, u_2$  лежат (II.9) и

$$A_1 = 0, \operatorname{Re} A_1 = 0, \quad \text{то получаем солитон, если } \operatorname{Re} A_1 = \operatorname{Re} A_2 = 0.$$

$A_1 \neq 0, A_2 \neq 0$  - двухсолитонное решение, описывающее столкновение солитонов, отвечающих спектральным данным  $U_1$  и  $U_2$ . Если  $U_1, U_2$  веща (II.10), то получаем движущийся бризер (если  $\text{Re } U_1 = 0, 2K$ , то это импульс равен нулю). В терминологии § 4 все эти решения называются  $S_0$ -солитонами. Очевидно неустойчивые основные состояния (II.11) и (II.12), получаем соответственно  $S_1$  и  $S_2$ -солитоны. При этом аналогично XYZ случаю (см. § 4) оказывается, что среди таких решений содержится периодические по  $x$  и  $t$  решения, а также решения, периодические по  $x$  и "окружающие" по  $t$ . Можно сказать, что физическая причина их существования заключается в том, что взаимодействие с солитонным спектром приводит к глобальной перестройке неустойчивых "вакуумных" решений (II.11), (II.12).

Более правдивая перенос с XYZ-случая техника построения конечных решений. Поэтому приведем здесь только окончательные формулы для решений, отсылая за подробными доказательствами к работе [10]:

Рассмотрим риманову поверхность  $\Gamma$ , представляющую собой двухлистное накрытие над тором  $\mathbb{T}$  (его стороны  $2K, 4iK'$ ). Для построения  $\Gamma$  возьмем два экземпляра тора  $T$  и склеим их по разрезу  $[q_1, q_1] \cdot [\rho_1 + 2iK, q_1 + 2iK']$ ,  $j=1, \dots, g$ . Полученная поверхность рода  $g = 2g + 1$  вместе с каноническим базисом циклов на ней (цикл  $\epsilon_0$  состоит из двух компонент) изображена на рис.21. При этом части циклов, лежащие на "вершинном" торе (верхнем листе), изображены сплошной линией, а части, лежащие на "нижнем" листе - штриховой.

$\Gamma$  обладает кривыми  $\tau P = P + 2iK'$ , а также коммутаторной с ней кривой  $\lambda P = P$ , меньшей листы. Кривые  $\tau$  не имеют неподвижных точек. Назовем  $a_0, \epsilon_0, a_1, \epsilon_1, \dots, a_{g-1}, \epsilon_{g-1}$  глупыми гомологами  $H_1(\Gamma, \mathbb{Z})$  можно выбрать так, что  $\tau$  действует на него следующим образом (такой базис указан на рис.21):

$$\tau a_0 = a_0, \tau \epsilon_0 = \epsilon_0, \tau a_i = a_i, \tau \epsilon_i = \epsilon_i + g, \quad (II.14)$$

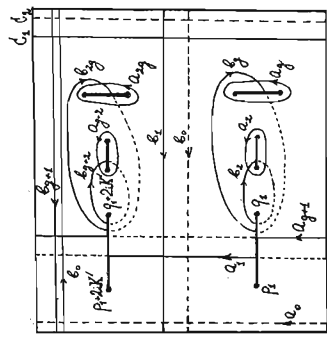


Рис.21

Здесь за  $\tau$  обозначен цикл, получаемый из цикла  $a_0$  под действием  $\tau$ . В этом базисе матрица переносов имеет простую структуру

$$B = \begin{pmatrix} T_\infty & T_0 & T_0 \\ T_0 & M & M' \\ T_0 & M' & M \end{pmatrix}, \quad (II.15)$$

где  $T_\infty \in C, T_0 = g$ -мерная строка, а  $M$  и  $M'$  - матрицы размерности  $g \times g$ . Дифференциалы Фурье линейной  $\Gamma$  по выноски  $\tau$  называются дифференциалами  $d\omega$ , удовлетворяющие условию

$$\tau^* d\omega(P) = d\omega(\tau P) = -d\omega(P). \quad (II.16)$$

Пространство голоморфных дифференциалов Фурье  $g$ -мерно. Нормированный базис в нем образуется  $d\omega_{ij}$ :

$$\int a_i d\omega_{ij} = \delta_{ij}, \quad i, j = 1, \dots, g. \quad (II.17)$$

При этом  $\Pi = M - M'$ ,  $\Pi_i = \int_{\mathcal{L}} d\omega_i$ . Дифференциал Пуанкаре называется дифференциалом Пуанкаре второго рода, если он имеет только полюса кратности больше 1 в некоторых точках  $\Gamma$ . Тета-функция Пуанкаре  $\theta(\varepsilon|\Pi)$  определяется выражением (6.8), где надо матрицу периодов  $B$  заменить на матрицу  $\Pi$ .

Рассмотрим нормированные интегралы Пуанкаре второго рода  $\Omega_{\varepsilon_i}(P) : \int_{\mathcal{L}} d\Omega_{\varepsilon_i} = 0, i=1, 2, \dots, g$ , с особенностями в точках  $P=0$  и  $P=\infty^* = \pm 0, d, P \in \Gamma$  вида

$$\Omega_{\varepsilon_1}(P) = -g u^{-1} - a + 0(u), \quad \Omega_{\varepsilon_2}(P) = g u^{-1} + a + 0(u), \quad (II.18)$$

$$\Omega_{\varepsilon_2}(P) = 2g^2 u^{-2} - \ell + 0(u), \quad \Omega_{\varepsilon_2}(P) = -2g^2 u^{-2} - \ell + 0(u).$$

Здесь  $u_{\varepsilon_i}$  - естественная проекция точки  $P \in \Gamma$  на тор  $\Gamma$ .  $V \in \mathcal{C}^g$  и  $V \in \mathcal{C}^g$  - векторы  $\mathcal{C}^g$  -пространств

$$V_i = \int_{\mathcal{L}} d\Omega_{\varepsilon_i}, \quad V_i = \int_{\mathcal{L}} d\Omega_{\varepsilon_2}. \quad (II.19)$$

Функции  $\psi_1(P)$  и  $\psi_2(P)$  определяются формулами

$$\psi_1(P) = \frac{\theta(\omega(P) - \Omega_{\varepsilon_1} + \Pi)}{\theta(\omega(P) + \Pi)} \exp\{i\Omega_{\varepsilon_1}(P)x + i\Omega_{\varepsilon_2}(P)t\}, \quad (II.20)$$

$$\psi_2(P) = \frac{\theta(\omega(P) + \Omega_{\varepsilon_1} + \Pi)}{\theta(\omega(P) + \Pi)} \exp\{i\Omega_{\varepsilon_1}(P)x + i\Omega_{\varepsilon_2}(P)t\},$$

$$\lambda \in \mathcal{C}^g, \quad \omega(P) = \int_0^P d\omega = (d\omega_1, \dots, d\omega_g), \quad \Omega = (Vx + Vt) \frac{1}{2\pi},$$

$$n = (\frac{1}{2}, 0, 0, \dots, 0).$$

Теорема. Функции

$$\mathcal{L}\mathcal{F}(u) = \begin{pmatrix} \psi_1(P) & \psi_1(P^*) \\ \psi_2(P) & \psi_2(P^*) \end{pmatrix} \quad (II.21)$$

являются решением собственной задачи Римана для  $X\mathcal{Y}$  уравнения II-1.

Величины

$$\begin{aligned} A &= \theta(\Omega + 2|\Pi), & B &= \theta(\Omega + 2 + \varepsilon|\Pi), \\ C &= \theta(\Omega + 2 + \varepsilon + \varepsilon|\Pi), & D &= \theta(\Omega + 2 + \varepsilon + \varepsilon + \varepsilon|\Pi), \end{aligned} \quad (II.22)$$

$$\mathcal{Z} \in \mathcal{C}^g, \quad \varepsilon = \int_0^* d\omega$$

по формулам (II.15) определяют решение  $X\mathcal{Y}\mathcal{Z}$  уравнения II-1. Здесь  $\mathcal{Z}$  произволен, путь интегрирования в интеграле, определяющем  $\varepsilon$ , не должен пересекать полюсов  $\zeta_1$  и  $\zeta_2$  (см. рис. 21).

Важнейшие решения выделены отграничениями на зоны двух типов:

$$1. \quad \text{Im } p_k = \text{Im } q_k = \pm K', \quad (II.23)$$

$$2. \quad \bar{p}_k = q_k + 2iK', \quad (II.24)$$

и условия на соответствующую или другую компоненту вектора  $\mathcal{Z}$  (в зависимости от выбора базиса  $H_1(\Gamma, \mathcal{Z})$ ), которые подробно разобраны в [10].

Для решений рода  $g=1$ , применяя теорему сложения тета-функций (20), можно получить более компактный вид

$$S_1 = \frac{\theta[\frac{1}{2}, 0](\varepsilon)\theta[\frac{1}{2}, 0](\varepsilon)}{\theta[\frac{1}{2}, \frac{1}{2}](\varepsilon)\theta[\frac{1}{2}, \frac{1}{2}](\varepsilon)}, \quad S_2 = -i \frac{\theta[0, 0](\varepsilon)\theta[0, 0](\varepsilon)}{\theta[\frac{1}{2}, \frac{1}{2}](\varepsilon)\theta[\frac{1}{2}, \frac{1}{2}](\varepsilon)},$$

$$S_3 = \frac{\theta[0, \frac{1}{2}](\varepsilon)\theta[0, \frac{1}{2}](\varepsilon)}{\theta[\frac{1}{2}, \frac{1}{2}](\varepsilon)\theta[\frac{1}{2}, \frac{1}{2}](\varepsilon)}, \quad z = 2\Omega + 2D + \varepsilon, \quad \theta(\varepsilon) \equiv \theta(\varepsilon|2\Pi). \quad (II.25)$$

Как показано в работе [15], решения  $X\mathcal{Y}\mathcal{Z}$  уравнения II-1, не зависящие от  $t$ , являются также решениями задачи Неймана о движении частицы на дуговой сфере [16], а зависящие только от комбинации  $x+t$  (простые волны) - классического интегрируемого случая [15]а динамики твердого тела в хлороксте [16, 24]. Все решения (II.25)

- простые волны. Оказывается, некоторые из решений рода  $g=2$ , - также простые волны. Необходимое и достаточное условие этого - равенство на петлях зон

$$\frac{P_1+Q_1}{2} + \frac{P_2+Q_2}{2} = K. \quad (II.26)$$

При этом из формул (II.22) получаются формулы Миттера [24] для случая Клебса и формулы Весселова (см. [16]) для решений задачи Неймана. Взаимозаменя (II.25) описывают частные периодические решения этой задачи классической механики.

#### Приложение

##### РАЗРЕЗАННЫЕ ДВУМЕРНЫЕ НАКРЫТИЯ И РЕДУКАЦИЯ

###### ГОРА-ВУНДЛИЙ ФОРМА

В этом приложении приведем результаты о редукации гета-функции Римана, содержащиеся в монографии [31].

Пусть  $\tilde{C} \rightarrow C$  - разрезанное двумерное накрытие рода  $\tilde{g}=2g+n-1$  компактной римановой поверхности  $C$  рода  $g, Q_1, \dots, Q_{2n} \in C$  - точки ветвления накрытия. Обозначим  $\varphi: \tilde{C} \rightarrow C$  канонично с помощью  $2n$  точек  $Q_1, \dots, Q_{2n}$ , переставляя листы накрытия  $(C = \tilde{C}/\varphi)$ . Канонический базис  $H_1(\tilde{C}, \mathbb{Z})$

$$O, \tilde{a}_1, \dots, \tilde{a}_g, \tilde{a}_{g+1}, \tilde{b}_1, \dots, \tilde{b}_g, \tilde{c}_1, \dots, \tilde{c}_g, \tilde{b}_g' \quad (II.1)$$

можно выбрать так, что  $\tilde{a}_1, \tilde{b}_1, \dots, \tilde{a}_g, \tilde{b}_g$  - канонический базис  $H_1(C, \mathbb{Z})$  и

$$O_{\tilde{a}_i'} + \varphi O_{\tilde{a}_i} = \tilde{b}_{2i} + \varphi \tilde{b}_{2i} = 0, \quad 1 \leq i \leq g, \quad (II.2)$$

$$O_{\tilde{a}_i} + \varphi \tilde{a}_i = \tilde{b}_i + \varphi \tilde{b}_i = 0, \quad g+1 \leq i \leq g+n-1.$$

Здесь за  $\varphi O_{\tilde{a}_i}$  обозначены листы, получающиеся из  $O_{\tilde{a}_i}$  под действием инволюции  $\varphi$ . Для соответствующих нормированных голоморфных диф-

ференциалов

$$u_1, \dots, u_g, u_{g+1}, \dots, u_{g+n-1}, u_2', \dots, u_g'$$

справедлива равенства при  $1 \leq i \leq g$  и  $g+1 \leq i \leq g+n-1$

$$u_{\tilde{a}_i}(z) = -u_{\tilde{a}_i'}(\varphi(z)), u_i(z) = -u_i'(\varphi(z)), z \in C. \quad (II.3)$$

Нормирование в базисе  $\tilde{a}_1, \tilde{b}_1, \dots, \tilde{a}_g, \tilde{b}_g$  голоморфные дифференциалы на  $\tilde{C}$  равны

$$v_{\tilde{a}_i} = u_{\tilde{a}_i} - u_{\tilde{a}_i'} \quad 1 \leq i \leq g,$$

а дифференциалы

$$w_{\tilde{a}_i} = u_{\tilde{a}_i} + u_{\tilde{a}_i'}, 1 \leq i \leq g; w_i = u_i, g+1 \leq i \leq g+n-1$$

задаются  $g+n-1$  линейно независимых нормированных дифференциалов

$$\text{Прима на } \tilde{C}: v_{\tilde{a}_i}(\varphi(z)) = v_{\tilde{a}_i}(z), w_{\tilde{a}_i}(\varphi(z)) = -w_{\tilde{a}_i}(z).$$

Из (II.3) следует, что матрица периодов  $\tilde{C}$  имеет вид

$$B = \begin{pmatrix} \frac{\Pi_{\tilde{a}_p} + \Pi_{\tilde{a}_p'}}{2} & \Pi_{\tilde{a}_i} & \frac{\Pi_{\tilde{a}_p} - \Pi_{\tilde{a}_p'}}{2} \\ \Pi_{\tilde{a}_p} & 2\Pi_{ij} & \Pi_{\tilde{a}_i} \\ \frac{\Pi_{\tilde{a}_p} - \Pi_{\tilde{a}_p'}}{2} & \Pi_{\tilde{a}_i} & \frac{\Pi_{\tilde{a}_p} + \Pi_{\tilde{a}_p'}}{2} \end{pmatrix}, \quad (II.4)$$

(II.4)

где  $1 \leq i, p \leq g, g+1 \leq i, j \leq g+n-1, \Pi$  - матрица периодов (дифференциалов)  $v_{\tilde{a}_i}$  в базисе  $\tilde{a}_1, \tilde{b}_1, \dots, \tilde{a}_g, \tilde{b}_g$ , а  $\Pi$  означает равенства  $(g+n-1) \times (g+n-1)$  матрица

$$\Pi = \begin{pmatrix} \Pi_{\tilde{a}_p} & \Pi_{\tilde{a}_j} \\ \Pi_{\tilde{a}_p} & \Pi_{\tilde{a}_j} \end{pmatrix} = \begin{pmatrix} \int_{\tilde{a}_p} w_{\tilde{a}_j} & \frac{1}{2} \int_{\tilde{a}_j} w_{\tilde{a}_j} \\ \int_{\tilde{a}_p} w_{\tilde{a}_j} & \frac{1}{2} \int_{\tilde{a}_j} w_{\tilde{a}_j} \end{pmatrix}. \quad (II.5)$$

(II.5)

Рассмотрим гета-функцию с нулевыми характеристиками, определенной матрицей (II.4)

$$\theta(z|B) = \sum_{m \in \mathbb{Z}_g^g} \exp\{ \pi i \langle Bm, m \rangle + 2\pi i \langle z, m \rangle \}, \quad (\Pi.6)$$

где  $\langle \cdot, \cdot \rangle$  означает обычное скалярное произведение. Обозначим за  $S = (s_1 | s_2 | s_3)$   $g$ -мерный вектор, где  $S_1$  и  $S_2 = g$ -мерные, а  $S_3 = (n-1)$ -мерный векторы.  $t = (t_1 | t_2) = (g+m-1)$ -мерный вектор,  $t_1 = g$ -мерный,  $t_2 = (n-1)$ -мерный.

Заметим, что если вектор  $K$  пробегает всю решетку  $\mathbb{Z}_g^g$ , а  $\hat{S} = (S | 0 | S)$ , то  $\hat{S}$  пробегает всевозможные векторы, состоящие из чисел  $0$  и  $\frac{1}{2}$ , то вектор

$$m = N(K + \hat{S}), \quad N = \begin{pmatrix} I & 0 & I \\ 0 & I & 0 \\ I & 0 & -I \end{pmatrix} \quad (\Pi.7)$$

также пробегает  $\mathbb{Z}_g^g$  (размерность блоков  $N$  совпадает с размерностью блоков  $B$  (II.4)). Таким образом, суммирование по  $m$  в формуле (II.6) можно заменить на суммирование по  $K$  и  $\hat{S}$

$$\langle Bm, m \rangle = \langle BN(K + \hat{S}), N(K + \hat{S}) \rangle = \langle NBN(K + \hat{S}), K + \hat{S} \rangle.$$

Вотудно заметить, что матрица  $NBN$  — блочная

$$NBN = \begin{pmatrix} 2\Gamma & 0 \\ 0 & 2T \end{pmatrix}$$

(основа, в частности, следует положительными определенностью меньшей части  $\Pi$ ). Следовательно,

$$\langle Bm, m \rangle + 2\langle z, m \rangle = \langle NBN(K + \hat{S}), K + \hat{S} \rangle + 2\langle Nz, K + \hat{S} \rangle = \langle 2\Gamma(K_1 + \hat{S}|0), K_1 + \hat{S}|0 \rangle + \langle 2T(K_2 + \hat{S}), K_2 + \hat{S} \rangle +$$

$$+ 2\langle (z_1 + z_3 | z_2), K_1 + \hat{S}|0 \rangle + 2\langle z_1 - z_3, K_2 + \hat{S} \rangle,$$

где  $K = (K_1 | K_2 | K_3)$ ,  $K_1 = (K_1^1 | K_1^2)$ ,  $K_2 = (z_1 | z_2 | z_3)$ . Подставляя это в выражение (II.6), получаем представление  $g$ -мерной тета-функции через конечную сумму произведений  $g$ -мерной  $\pi(g+m-1)$ -мерной тета-функции

$$\theta((z_1 | z_2 | z_3 | B) = \sum_{\hat{S} \in \mathbb{Z}_g^g} \theta(\hat{S}|0) \theta((z_1 + z_3 | z_2 | 2\Gamma) | \theta(\hat{S}|0) \theta((z_1 - z_3 | 2T). \quad (\Pi.8)$$

#### ЛИТЕРАТУРА

1. Аллевер И.А., Боровак А.Е. К теории спинных волн конечной длины. - *ЖТФ*, 1967, т.52, № 2, с.508-513.
2. Аллевер И.А., Боровак А.Е. О нелинейных спинных волнах в ферромагнетиках и антиферромагнетиках. - *ЖТФ*, 1967, т.52, № 5, с. 1332-1344.
3. Бабит М.В., Бобошко А.И., Метрев В.Б. Решения тета-функций Римана рода  $g$  к тета-функциям высших родов и симметрии алгебраических кривых. - *ДАН СССР*, 1963, т.272, № 1, с.13-17.
4. Гарраштар И.В., Иванов Б.А. Нелинейные волны нелинейности антиферромагнетиков. - *ЖТФ*, 1979, т.5, № 7, с.769-770.
5. Бейтман Г., Эрдеди А. Высшие трансцендентные функции, т.3. - М.: Наука, 1967 - 384 с.
6. Келомос Е.Д., Зюмский В.З. Обобщенный анализ Лемба. - *ТМФ*, 1982, т.53, № 2, с.271-282.
7. Келомос Е.Д., Зюмский В.З. 0 решений в эллиптических функциях нелинейных уравнений в частных производных, интегрируемых методом



- обратной задачи теории рассеяния. - УМН, 1982, т. 37, № 4, 89 с.
8. Блехер Р. Ф., Бобенко А. И., Итс А. Р. О конечнозонном интегрировании уравнения Лакшми-Лифшица. - ДАН СССР, 1983, т. 272, № 6, с. 1293-1298.
9. Бобенко А. И. Уравнение Лакшу - Лифшица. Простые "олеваны". Элементарные возмущения. - Зап. науч. семина. ЛОМН, 1983, т. 123, с. 58-66.
10. Бобенко А. И. Вещные алгеброгеометрические решения уравнения Лакшу-Лифшица в пара-функции Пфафа. - Фунц. анализ в его прил., 1984, т. 18, № 4, с. 15-31.
11. Богдан И. М., Ковалев А. С. Точные многосолитонные решения одномерных уравнений Лакшу-Лифшица для неограниченного ферромагнетика. - Листки в ЕЖУ, 1980, № 8, с. 453-457.
12. Ботомолов Н. Е. (мл.), Призматический А. К. О конечнозонных решениях уравнения типа Гейзенберга. - В кн.: Математические методы в физико-механических полях. - Киев: Наук. думка, 1983, № 18, с. 7-13.
13. Бурлесов А. Б. Многосолитонные решения уравнений неограниченного магнетика. - ФМН, 1983, т. 55, № 2, с. 230-234.
14. Боровик А. Е.  $N$ -солитонные решения нелинейного уравнения Лакшу-Лифшица. - Листки в ЕЖУ, 1978, т. 28, № 10, с. 629-632.
15. Веселов А. П. Уравнение Лакшу-Лифшица в интегрируемых системах элементарной механики. - ДАН СССР, 1983, т. 270, № 5, с. 1094-1097.
16. Дубровин Б. А. Тета-функции в нелинейных уравнениях. - УМН, 1981, т. 36, № 2, с. 9-80.
17. Дубровин Б. А., Натанов С. М. Вещные волновые уравнения уравнения Шварц-Гельмгольца. - Фунц. анализ в его прил., 1982, т. 16, № 1, с. 27-43.
18. Душан А., Курган Р. Теория функций. - М.: Наука, 1968.
19. Духоваров Э. И., Янкоус С. О. Резонансное взаимодействие волновых солитонов в нелинейных средах. - Листки в ЕЖУ, 1979, т. 16, № 7,

- с. 413-417.
20. Захаров В. Б., Шabat С. В., Поповков С. Л., Шabatский И. Л. Под редакцией С. Л. Шabatского. - Теория солитонов: методы обратного рассеяния. - М.: Наука, 1980. - 320 с.
21. Зверинич Э. И. Кривые задачи теории эллиптических функций. - УМН, 1971, т. 26, № 1, с. 113-181.
22. Косичев А. М. Нелинейная динамика неавтономности в ферромагнетиках. Динамические и топологические солитоны. - ФМН, 1982, т. 53, № 3, с. 420-446.
23. Лакшу И. Д., Лифшиц Е. М. К теории дисперсии магнитной прецессии в ферромагнитных тел. - В кн.: Лакшу И. Д. Соф. труды в 2-х т. - М.: Наука, 1969, т. 1, с. 128-143.
24. Степанов В. А. О движении квантового тела в квантовой. - Харьков, 1983, т. 234 с.
25. Тахтаманов Л. А. Точные решения расширенного уравнения оптико-механических сред. - ЕЖУ, 1974, т. 66, в. 2, с. 478-489.
26. Чередука И. В. Интегрируемые дифференциальные уравнения и нелинейные алгебраические уравнения. - Киев: ИИ СССР, серж. школа, 1983, т. 47, № 2, с. 384-406.
27. Чередука И. В. Об условиях неавтономности в "конечнозонном интегрировании". - ДАН СССР, 1980, т. 252, № 5, с. 1104-1108.
28. Шabat А. Б. Обратная задача рассеяния для систем дифференциальных уравнений. - Фунц. анализ в его прил., 1975, т. 9, № 3, с. 75-78.
29. Vakhrameev V. P., Bobenko A. I. On finite-gap integration of the Lamda-Lifshitz equation. XIX case. - European JOMI, 8-8-83. Leningrad: LOMI, 1983, 27 p.
30. Date E., Jimbo M., Kashiwara M., Miwa T. Lamda-Lifshitz equation: solitons, quasi-periodic solutions and infinite dimensional Lie

Бикбаев Р.Ф., Бобенко А.И., Итс А.Р.

Уравнение Ландау-Лифшица. Теория точных решений. II.

Методом обрешетки задача последуется хорошо известное в теории ферромагнетизма уравнение Ландау-Лифшица. Построены все элементарные возбуждения солитонного типа. Изучено их взаимодействие. Получены также конечные (в гамильтоновом) решения, среди них выделены вещественные.

Работа выполнена в Ленинградском государственном университете и Ленинградском отделе Института Математического института им. В.А. Стеклова АН СССР.

Президент Демского физико-технического института АН УССР, Довенко, 1984.

Bikbaev R.F., Bobenko A.I., Its A.R.

The Landau-Lifshits equation. Theory of explicit solutions. II.

On the basis of the inverse scattering method the Landau-Lifshits equation in the theory of ferromagnets is investigated. All soliton excitations are constructed and their interaction is described in detail. The final formulas for the finite-gap solutions (the theta-function solutions) are obtained and real ones are isolated.

This work has been carried out in Leningrad State University and Leningrad Department Steklov Mathematical Institute.

Preprint of Donetsk Physico-Technical Institute of the Ukrainian Academy of Sciences, Donetsk, 1984.

© Довенко физико-технический институт АН УССР, 1984

## ОГЛАВЛЕНИЕ

## ЧАСТЬ I

|   |    |
|---|----|
| Введение. . . . .   | 3  |
| § 1. Основная теорема. . . . .  | 9  |
| § 2. Внешние поля. . . . .  | 14 |
| § 3. Процедура оклеивания. Обшая схема. . . . .                       | 15 |
| § 4. Процедура оклеивания. Солитонные решения. . . . .                | 25 |
| § 5. Процедура оклеивания. Взаимодействие солитонных решений. . . . . | 36 |

## ЧАСТЬ II

|  |    |
|--|----|
| § 6. Конечные решения. . . . .   | 3  |
| § 7. Выделение вещественных конечных решений. . . . .                  | 11 |
| § 8. Простейшие конечные решения в алгебраических функциях. . . . .    | 16 |
| § 9. N-солитонные решения в случае "легкой плоскости". . . . .         | 27 |
| § 10. Взаимодействие $S_1$ -солитонов с локализованной волной. . . . . | 32 |
| § II. XYZ-уравнение Ландау - Лифшица. . . . .                          | 37 |
| Приложение. . . . .  | 44 |
| Литература. . . . .  | 47 |